

Results of synchronous measurements of the content of nitrogen and sulfur oxides in the atmosphere of Southern Baikal in July 2023

Shikhovtsev M.Yu.¹, Molozhnikova E.V.¹, Khodzher T.V.¹, Zhamsueva G.S.², Tsydypov V.V.², Tyurnev I.N.^{1*}

¹ Limnological Institute Siberian Branch of the Russian Academy of Sciences, Ulan-Batorskaya Str., 3, Irkutsk, 664033, Russia

² Institute of Physical Material Science Siberian Branch of the Russian Academy of Sciences, Sahyanovoy Str., 6, Ulan-Ude, 670047, Russia

ABSTRACT. The paper presents the results of synchronous measurements of the content of small gas impurities at the three atmospheric monitoring stations located on the shore of Southern Baikal, July 2023. The measurements were carried out using automatic gas analyzers, which enabled to obtain data on the content of sulfur and nitrogen oxides in the atmospheric air with high temporal resolution. The studies showed that in spite of a small distance between the observation stations, the fluctuations of concentrations of small gas impurities on different shores of Southern Baikal occur independently of each other. We suggested that an increase of nitrogen and sulfur oxide concentrations on the western shore in summer is probably correlated more with the impact of regional thermal power plants (TPP) and on the eastern shore with the orographic features of the southern basin of the lake and local sources. The influence of meteorological conditions on the content of gas components in the atmosphere of Southern Baikal was estimated using multivariate statistical methods, namely, NWR and PSCF.

Keywords: air pollution, sulfur dioxide, nitrogen oxides, the Baikal natural territory, Siberia

For citation: Shikhovtsev M.Yu., Molozhnikova E.V., Khodzher T.V., Zhamsueva G.S., Tsydypov V.V., Tyurnev I.N. Results of synchronous measurements of the content of nitrogen and sulfur oxides in the atmosphere of Southern Baikal in July 2023 // Limnology and Freshwater Biology. 2024. - № 5. - P. 1284-1301. DOI: 10.31951/2658-3518-2024-A-5-1284

1. Introduction

Oxides of sulfur (SO_2) and nitrogen ($\text{NO}_x = \text{NO} + \text{NO}_2$) are common atmospheric impurities that play a significant role in the troposphere and lead to a number of environmental problems such as acid rain, acidification of freshwater ecosystems (Moiseenko et al., 2018; 2022; Obolkin et al., 2016) and photochemical smog (He et al., 2007; Shon et al., 2011). Sulfur and nitrogen oxides in the atmosphere are known to contribute to the generation of aerosol particles with aerodynamic diameter less than $2.5 \mu\text{m}$ (Seinfeld and Pandis, 2016; Liu et al., 2019), which in turn have negative effects on human health (Lelieveld et al., 2015; Tiotiu et al., 2020; Southerland et al., 2022), contribute to a decrease in atmospheric transparency (Kovadlo et al., 2018; Taschilin et al., 2021), and lead to an enhanced greenhouse effect and climate change (Gharibzadeh et al., 2021; Liu et al., 2022). Besides, nitrogen oxides are precursors for the formation of ground-level ozone, which leads to deterioration

of air quality and adversely affects human health.

Over the last four decades, there has been an increase in the content of small gas impurities in the atmosphere of reference areas worldwide, along with improvements in air quality in industrial cities (Fenger, 2009; Sillanpää et al., 2022) (Golobokova et al., 2018a; Sicard et al., 2023). This trend is also relevant for the Baikal region. The atmosphere in this region is showing an increase in nitrogen oxides (Golobokova et al., 2018b). It was previously found that Southern Baikal is subjected to significant atmospheric pollution as a result of high-altitude transport of sulfur and nitrogen oxides from remote regional TPP located to the northwest and southeast of the lake (Obolkin et al., 2014; Shikhovtsev et al., 2023) (Obolkin et al., 2017; Popovicheva et al., 2021). Emissions from sources of atmospheric pollution located within the Central Ecological Zone of the lake, as a rule, spread locally, and their contribution to the total level of atmospheric pollution over the lake in the cold period is insignificant (Molozhnikova and Kuchmenko, 2004; Molozhnikova et al., 2023).

*Corresponding author.

E-mail address: tyurnev@lin.irk.ru (I.N. Tyurnev)

Received: October 03, 2024; Accepted: October 28, 2024;

Available online: October 31, 2024



In summer, forest fires are a significant source determining the state of the atmosphere above the lake. Thus, according to the studies of (Marinaite et al., 2019; Golobokova et al., 2022; Khodzher et al., 2024), an increase in the concentration of oxides of nitrogen and sulfur, persistent organic pollutants, including polycyclic aromatic hydrocarbons (PAHs), soot, nutrients (mineral nitrogen, potassium), trace elements (iron, manganese, vanadium, zinc, barium, lead) was recorded both in the atmosphere and in the surface waters of the lake. The long-term input of nitrogen- and sulfur-containing substances into the atmosphere over Southern Baikal resulted in a decrease in the pH level of atmospheric precipitation, which is the main source of supply for the lake's southeastern tributaries. This led to acidification of river waters (Tomberg et al., 2016).

Khodzher and Sorokovikova (2007) showed that from 2 to 6 per cent of soluble components and from 30 to 60 per cent of nutrients enter the catchment area of Lake Baikal from the atmosphere, providing an extra inflow of nutrients. Precipitation with an increased nitrogen content may be one of the key factors contributing to the mass development of the under-ice dinoflagellate community *Gymnodinium baicalense* var. minor Antipova in Listvenichchny Bay (Southern Baikal) in 2018 (Obolkin et al., 2019). In Bay of Bolshiye Koty, located on the southern shore of Lake Baikal, similar phenomena have been repeatedly observed. In July 2019, mass reproduction of cyanobacteria occurred after four days of nitrogen- and phosphorus-enriched rains (Bondarenko et al., 2021). In June 2022, heavy rainfall (34 mm) caused an increase in fecal indicator bacteria in the same area (Malnik et al., 2024).

Thus, gas impurities can influence the formation of the chemical composition of the Baikal water and determine its quality. Thanks to the intra-basin circulation of air (Arshinov et al., 2001), impurities entering the atmosphere can be transported throughout the water area, contributing to the pollution of hydrosphere

of the region. Moreover, the mountain basin can accumulate pollutants not only from local sources but also from vast territories of Siberia, China, and Mongolia (Mashyanov et al., 2022; Nasonov et al., 2023). It is essential to study environmental changes in the region in terms of negative impacts on unique natural objects.

The study aims to determine how small atmospheric impurities are distributed in the atmosphere of Southern Baikal and to estimate the location of remote sources during the period of minimum impact of regional TPP. For this purpose, data of continuous automatic registration of the concentration of small gas impurities in the atmospheric air of Southern Baikal with a high frequency of measurements were used.

2. Materials and methods

2.1. Location of stations and equipment used

The measurements were carried out simultaneously at the three stations: Listvyanka (51.84 N, 104.89 E), Bolshiye Koty (51.89 N, 105.06 E), and Boyarsky (51.84 N, 106.07 E). The location of observation stations, which represent the largest stationary sources of atmospheric pollution, and a map-scheme of the study area are presented in Figure 1. The measurements were performed using chemiluminescent gas analyzers manufactured by OPTEC (St. Petersburg, Russia): SV-320 and SV-320A (SO_2); PA-310A (NO_2 and NO); with a detection limit of 0.001 mg/m³, a reduced error of \pm 25% in the range from 0 mg/m³ to 0.05 mg/m³ and a relative error of \pm 25% in the range from 0.05 mg/m³ to 2.0 mg/m³. These devices are verified annually in the laboratory of OPTEC. Data on the direction and speed of the wind were obtained using the AMK-11 acoustic meteorological system (Boyarsky station) and the Sokol-M meteorological complex (Listvyanka and Bolshiye Koty stations).

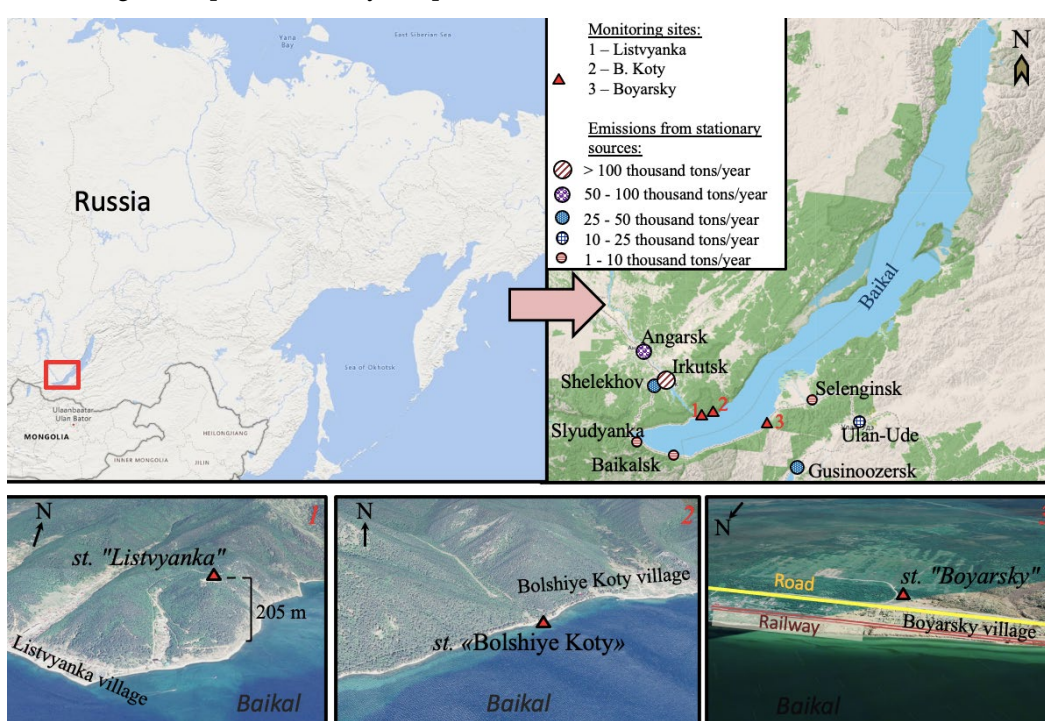


Fig.1. Location of the sampling station: 1 – “Listvyanka”; 2 – “Bolshiye Koty”; 3 – “Boyarsky” and map of the studied area

2.2. Non-parametric wind regression (NWR)

A receptor-based non-parametric wind regression (NWR) model was used to identify potential local sources of atmospheric pollution using meteorological data (Henry et al., 2009). In this study, the openair package (R language) was used to analyze the NWR, and the Gaussian kernel smoothing method was applied to the resulting wind direction and speed (Carslaw and Ropkins, 2012). The NWR analysis is defined as follows (1) and (2):

$$E(C|\theta, u) = \frac{\sum_{i=1}^N K_1\left(\frac{(\theta - W_i)}{\sigma}\right) K_2\left(\frac{(u - U_i)}{h}\right) C_i W_i}{\sum_{i=1}^N K_1\left(\frac{(\theta - W_i)}{\sigma}\right) K_2\left(\frac{(u - U_i)}{h}\right)} \quad (1)$$

$$K(x) = \frac{1}{\sqrt{2\pi}} \cdot e^{-0.5x^2} \quad (2)$$

where C_i is measured pollutant concentration, U_i and W_i are resulting wind speed and standard deviation of wind direction for the i -th observation. N is total number of observations; K_1 and K_2 are smoothing kernels; θ is wind direction; u is wind speed; and σ and h are smoothing parameters for wind direction and wind speed, respectively.

2.3. Potential Source Contribution Function (PSCF)

The location of remote sources of the analyzed pollutants was determined using the potential source contribution function (PSCF). The method is based on the analysis of inverse trajectories of air masses. The 72-hour back trajectories required for the analysis were generated using the HYSPLIT model developed by the National Oceanic and Atmospheric Administration (NOAA) (Draxler and Hess, 1998; Stein et al., 2015). The PSCF is calculated on the basis of the probability

of occurrence of i concentration in each grid cell, as specified in equation (3):

$$PCSF_{i,j} = \frac{m_{ij}}{n_{ij}} \quad (3)$$

where m_{ij} is number of points whose concentration exceeds the limit value, and n_{ij} is number of endpoints of the return paths that pass through each grid cell (Karnaee and John, 2011; Liu et al., 2024).

3. Results and discussion

3.1. Content of gas impurities in the atmosphere of Southern Baikal

The study considers the results of an analysis of data on the concentrations of SO_2 , NO , and NO_2 in the surface layer of the atmosphere in the area of Southern Baikal, obtained between 17 and 28 July 2023. Figure 2 shows the results of measurements of surface concentrations of nitrogen and sulfur oxides at the three monitoring stations. Figure 2 shows that the highest variability was recorded for sulfur dioxide. The hourly mean concentrations of SO_2 at the Boyarsky station ranged from 5 to 30 $\mu\text{g}/\text{m}^3$, while at Listvyanka station, they varied from 0 to 28 $\mu\text{g}/\text{m}^3$. On average during the observation period, concentrations of SO_2 on the southeastern shore were 15 $\mu\text{g}/\text{m}^3$, on the southwestern shore were 5 $\mu\text{g}/\text{m}^3$, which corresponded well with measurements made both during ship expeditions in 2020-2022 (Zhamsueva et al., 2020) and ground-based measurements conducted at the Boyarsky station in 2015 (Zayakhanov et al., 2019).

The highest recorded concentration of nitrogen oxide was also observed at the Boyarsky station. During the observation period, concentrations of nitrogen dioxide increased up to 33 $\mu\text{g}/\text{m}^3$, while nitrogen monoxide concentrations reached 7 $\mu\text{g}/\text{m}^3$. Figure 2-B illustrates that short-term spikes in nitrogen dioxide levels above 20 $\mu\text{g}/\text{m}^3$ were periodically observed at the Boyarsky station.

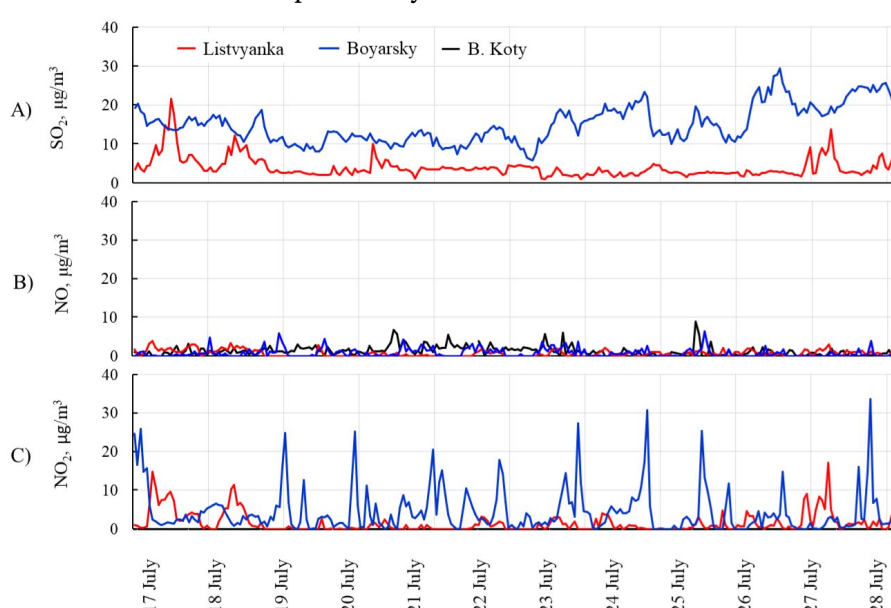


Fig.2. Temporal variability of hourly average values of: A) sulfur dioxide; B) nitrogen oxide; C) nitrogen dioxide at «Listvyanka», «Bolshiye Koty», «Boyarsky» stations on 17-28 July, 2023.

3.2. Identification of local sources using the NWR model

We used a receptor model of non-parametric wind regression (NWR) to assess the influence of meteorological parameters on the atmospheric concentration of impurities for all stations. The 10-minute concentration of impurities (NO , NO_2 , SO_2) was selected as a dependent variable, and the mean wind direction and wind speed were selected as predictor variables (Fig. 3-8).

The analysis (Fig. 3-5) revealed that the highest content of SO_2 , NO and NO_2 in the surface atmosphere of Listvyanka station was recorded in the night and morning hours (from 12 a.m. to 8 a.m.), at winds from the north and north-west with velocities from 1 to 4 m/sec. This is caused by the fact that emissions of nitrogen and sulfur oxides spreading at high altitudes (with TPP plumes), due to a decrease in the thickness of the atmospheric boundary layer and weakening of thermal convection can go lower. During the daytime hours, the heating of the Earth's surface and the atmospheric boundary layer cause turbulence to develop, creating ideal conditions for the dispersion of impurities. The wind regime becomes more diverse, which leads to a decrease in concentrations of sulfur and nitrogen oxides to the summer background values of Southern Baikal (Zhamsueva et al., 2022; Shikhovtsev et al., 2024). In the daily dynamics of nitrogen oxides, the second increase from 12 p.m. to 15 p.m. was observed. This increase occurred at winds of south-east, south, and south-west directions, which corresponded to the location of Listvyanka settlement and Listvennichny Bay. The probable sources of these gaseous impurities may be road and water transport.

The highest concentrations of SO_2 and NO_2 were recorded at the Boyarsky station at winds of south and south-west directions. These directions corresponded to the position of local sources of atmospheric pollution, which are situated on the south-eastern coast of Lake Baikal (Fig. 6-7). According to the NWR analysis,

individual episodes were identified where air masses enriched with nitrogen and sulfur oxides are transported from the south along the Manturikha River valley. The calculation of direct trajectories of air mass movement (Fig. 9) showed that an increase in the content of oxides of sulfur and nitrogen at the Boyarsky station can be attributed to the influence of remote sources located in the town of Gusinoozersk.

The NWR analysis performed for NO (Fig. 8) demonstrates that concentration of nitrogen monoxide increases between 7 a.m. and 11 p.m. local time regardless of wind direction. This may indicate that local sources of atmospheric pollution, such as motor transport, affect the Boyarsky station. During night hours, concentrations of NO decrease to values close to the detection limit of the device.

3.3. Identification of remote sources using PSCF analysis

We used the method of multivariate statistics techniques to determine the areas of potential sources of gas impurities (NO_2 and SO_2) in the atmosphere of Southern Baikal. This involved a joint analysis of inverse trajectories calculated with the HYSPLIT model and measurements of surface concentrations of small gas impurities. To estimate remote sources, the duration of the return trajectories was accepted as 72 hours. Calculations were carried out for 1,000 meters above ground level (AGL) for the period from 17 to 28 July 2023.

The results of the PSCF analysis are presented in Figure 10. The calculations demonstrate that the probabilities of remote source locations for NO_2 and SO_2 (greater than 0.5) are similar for the two stations. The first maximum is defined to the north, north-west of the observation stations. The air masses entering this sector are characterized as arctic and temperate, formed over the North Atlantic and transformed as they move over the industrial areas of Western and Eastern Siberia, where the major sources of nitrogen and sul-

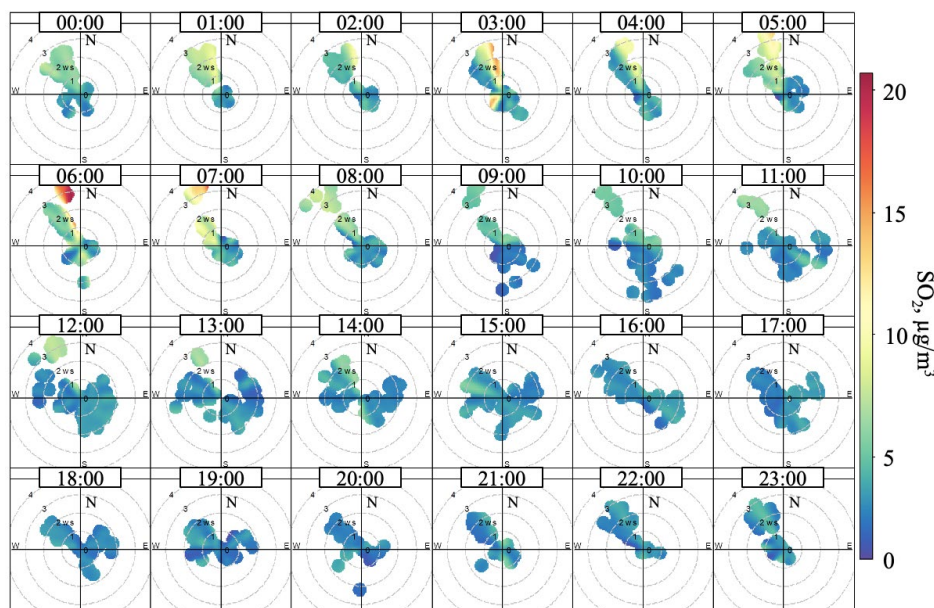


Fig.3. NWR analysis for ten-minute concentrations of SO_2 in the polar coordinate system at «Listvyanka» station, July 2023.

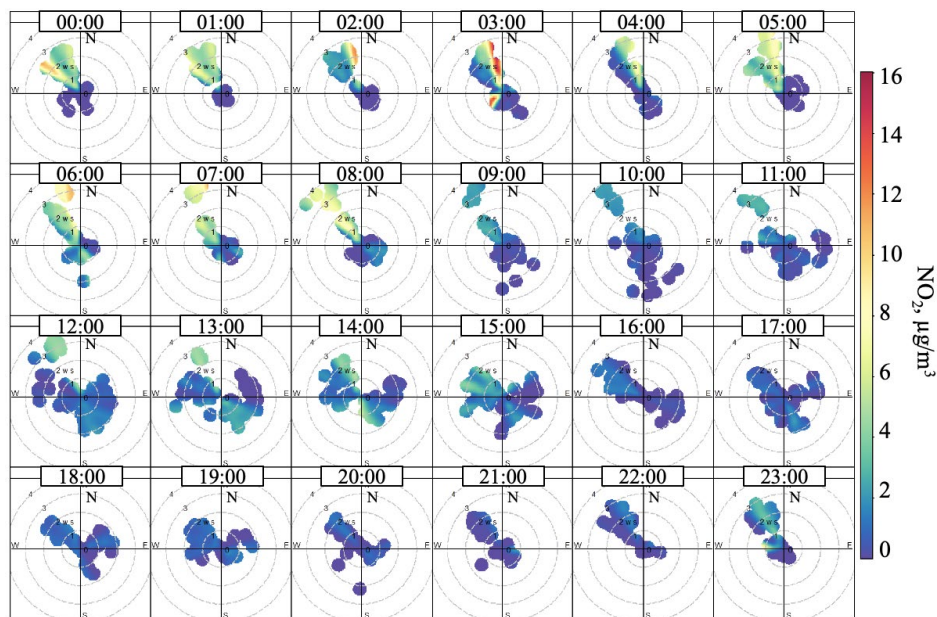


Fig.4. NWR analysis for ten-minute concentrations of NO_2 in the polar coordinate system at «Listvyanka» station, July 2023.

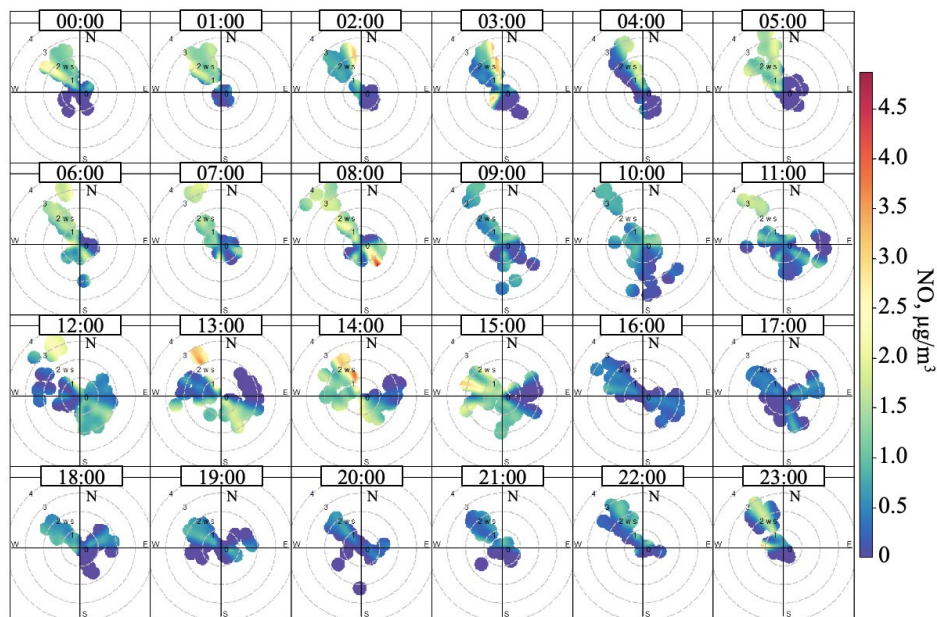


Fig.5. NWR analysis for ten-minute concentrations of NO in the polar coordinate system at «Listvyanka» station, July 2023.

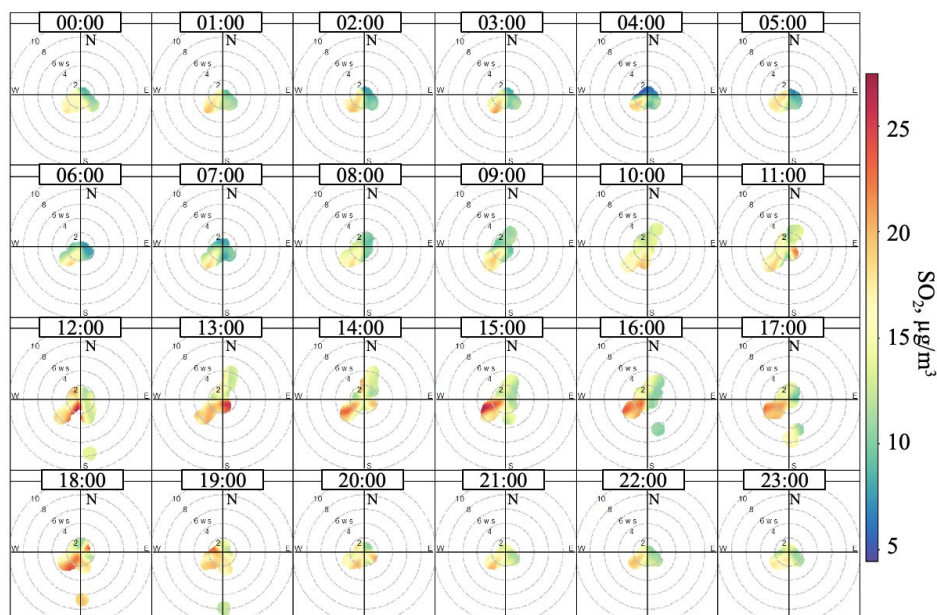


Fig.6. NWR analysis for ten-minute concentrations of SO_2 in the polar coordinate system at the «Boyarsky» station, July 2023.

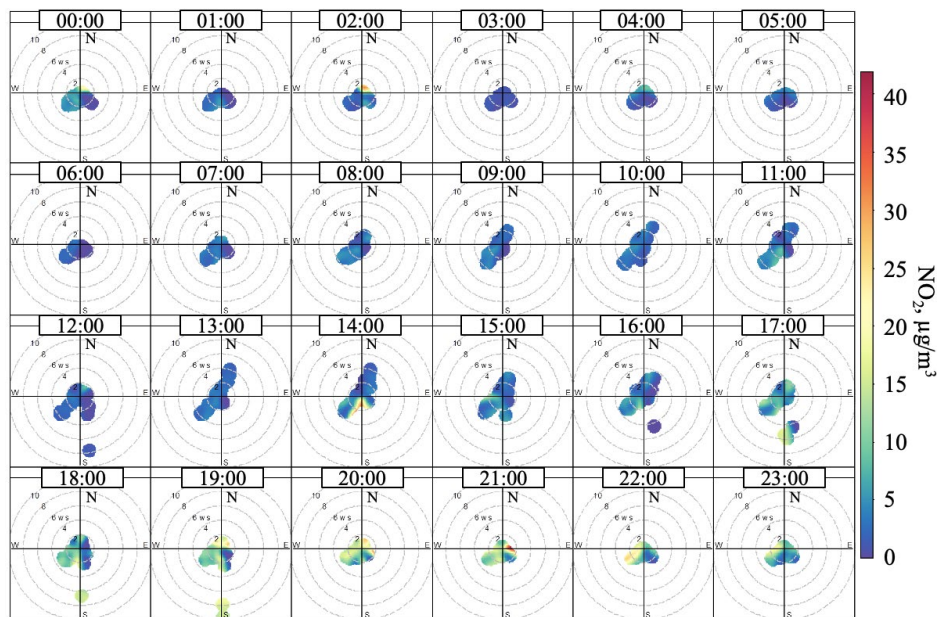


Fig.7. NWR analysis for ten-minute concentrations of NO_2 in the polar coordinate system at the «Boyarsky» station, July 2023.

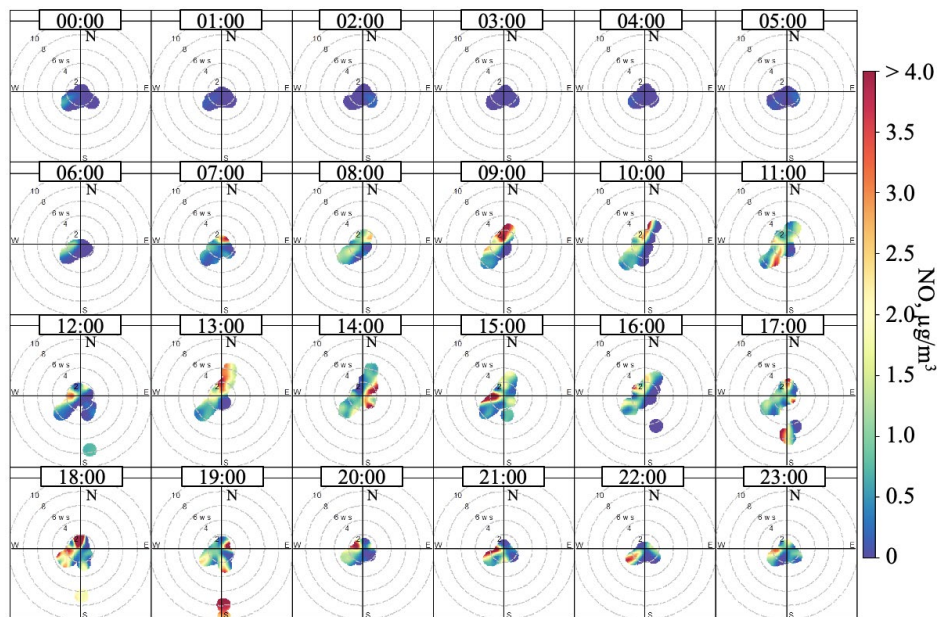


Fig.8. NWR analysis for ten-minute concentrations of NO in the polar coordinate system at the «Boyarsky» station, July 2023.

fur oxides are enterprises of the fuel and energy complex (FEC) (Maysyuk, 2017). Therefore, we can assume that at the beginning of the study (17-23 July), when a stable atmosphere was observed in the surface layer with insignificant northwestern flows directed towards Southern Baikal, the contribution to air pollution in the southern basin of the lake was influenced not only by sources of the Irutsk-Cheremkhovo industrial hub but also by industrial towns of Novosibirsk Region, Krasnoyarsk Krai, and the north of Irkutsk Region. This is consistent with the data of surface measurements demonstrated in Figures 2-5.

The second maximum probability of remote source locations is visualized to the south, south-east of the lake. It is correlated with the change of meteorological situation in the region on July 23. The monitoring stations were subjected to a low-gradient field of atmospheric pressure with light local winds of different directions (Fig. 3-8). There was a slight predominance of southern and southeastern winds at the

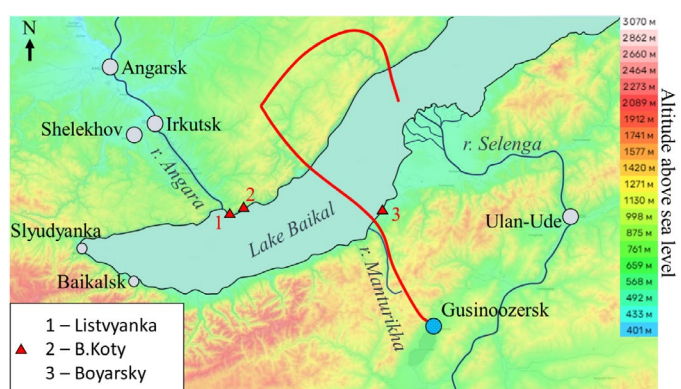


Fig.9. Topographic map of the study region (<https://ru-ru.topographic-map.com>) and direct trajectory of air mass movement from stationary sources of Gusinoozersk at an altitude of 500 m AGL, 20/07/2023 7a.m. MT.

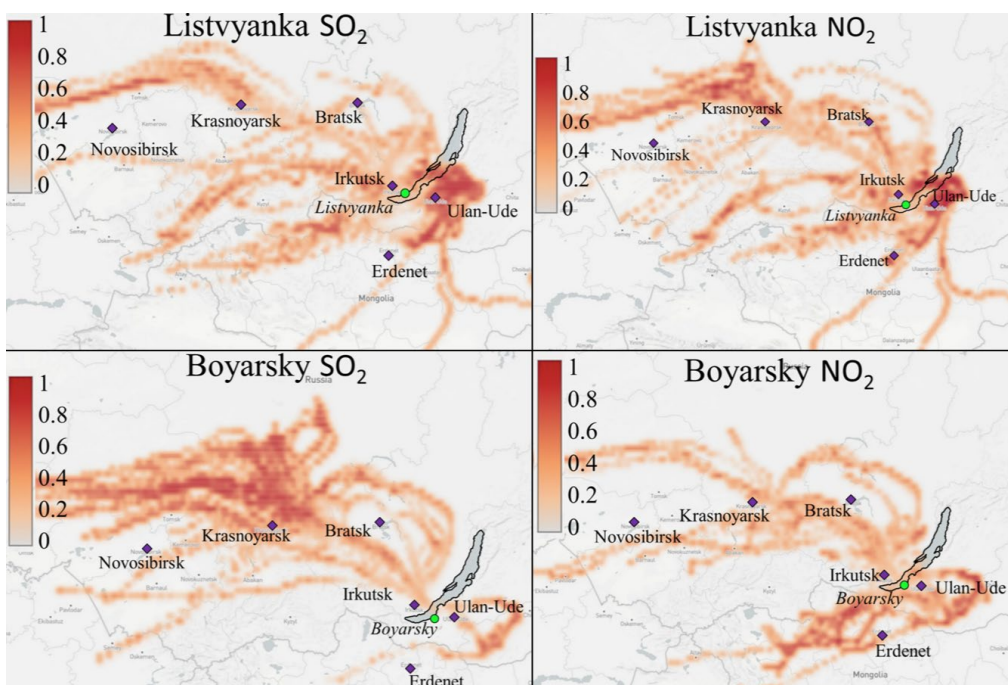


Fig.10. Spatial distribution of the probability of SO_2 and NO_2 source location at the «Listvyanka» and «Boyarsky» stations, which was performed using PSCF analysis from 17 to 28 July.

“Listvyanka” station and south-western, southern winds at the “Boyarsky” station. The state of the Southern Baikal air basin was impacted by the air masses that developed over Kazakhstan and Mongolian territory. The Republic of Buryatia’s industrial towns – Ulan-Ude, Gusinoozersk, and the settlements of Kamensk and Selenginsk – are the primary sources, as Figure 10 makes evident. Additionally, the town of Erdenet (Mongolia) has a slight effect.

4. Conclusion

We examined the hourly average concentrations of small gas pollutants, such as sulfur and nitrogen oxides, as well as meteorological factors, such as wind direction and speed, at the three South Baikal atmospheric monitoring stations during the summer of 2023.

The study results demonstrated that, despite the proximity of the observation stations, changes in the concentration of small gas impurities on the different shores of Southern Baikal occur independently of each other. The location of the stations, peculiarities of the intra-basin circulation of air and location with respect to anthropogenic sources – all explain the reasons for such changes.

The estimates of the influence of meteorological parameters on the content of gas impurities in the atmosphere of Southern Baikal using the NWR model showed that the maximum concentrations on the western coast of the lake were recorded at winds of a north-west direction with a speed of 1 to 4 m/s. The eastern shore of the lake is characterized by a gradual increase in concentration, with the southwestern direction in the same velocity range.

The potential source contribution function (PSCF) was used to determine the locations of remote sources that influenced the atmospheric air content in

the southern basin of the lake in summer 2023. The most probable contribution was made by the sources located in the Republic of Buryatia and Krasnoyarsk Krai.

Acknowledgements

The work was carried out within the State Assignment of LIN SB RAS No. 0279-2021-0014 “Investigation of the role of atmospheric precipitation on aquatic and terrestrial ecosystems of the Lake Baikal basin, identification of sources of atmospheric pollution” (measurements at Listvyanka station) and RSF grant No. 19-77-20058 P (measurements at the stations of Bolshiye Koty and Boyarsky).

Conflict of interest

The authors declare no conflicts of interest.

References

- Arshinov M.Yu., Belan B.D., Ivlev G.A. et al. 2001. Spatial-temporal characteristics of air circulation in the Lake Baikal Basin. *Atmosphere. Ocean.* Variant 14(4): 290-293.
- Bondarenko N.A., Tomberg I.V., Shirokaya A.A. et al. 2021. *Dolichospermum lemmermannii* (Nostocales) bloom in world’s deepest Lake Baikal (East Siberia): abundance, toxicity and factors influencing growth. *Limnology and Freshwater Biology* 1: 1101-1110. DOI: [10.31951/2658-3518-2021-A-1-1101](https://doi.org/10.31951/2658-3518-2021-A-1-1101)
- Carslaw D.C., Ropkins K. 2012. Openair—an R package for air quality data analysis. *Environmental Modelling & Software* 27: 52-61. DOI: [10.1016/j.envsoft.2011.09.008](https://doi.org/10.1016/j.envsoft.2011.09.008)
- Draxler R.R., Hess G.D. 1998. An overview of the HYSPLIT_4 modeling system for trajectories, dispersion, and deposition. *Australian Meteorological Magazine* 47: 295-308.
- Fenger J. 2009. Air pollution in the last 50 years—From local to global. *Atmospheric environment* 43(1): 13-22. DOI: [10.1016/j.atmosenv.2008.09.061](https://doi.org/10.1016/j.atmosenv.2008.09.061)

- Gharibzadeh M., Bidokhti A.A., Alam K. 2021. The interaction of ozone and aerosol in a semi-arid region in the Middle East: Ozone formation and radiative forcing implications. *Atmospheric Environment* 245(118015): 1-50. DOI: [10.1016/j.atmosenv.2020.118015](https://doi.org/10.1016/j.atmosenv.2020.118015)
- Golobokova L.P., Khodzher T.V., Obolkin V.A. et al. 2018. Aerosol in the atmosphere of the Baikal region: history and contemporary researches. *Limnology and Freshwater Biology* 1: 49-57. DOI: [10.31951/2658-3518-2018-A-1-49](https://doi.org/10.31951/2658-3518-2018-A-1-49)
- Golobokova L.P., Khodzher T.V., Obolkin V.A. et al. 2018. Long-term investigations of atmospheric aerosol and gaseous impurities in Southern Pribaikalye, East Siberia. *International Journal of Environmental Sciences & Natural Resources* 10(3): 74-84. DOI: [10.19080/IJESNR.2018.10.555786](https://doi.org/10.19080/IJESNR.2018.10.555786)
- Golobokova L.P., Khodzher T.V., Zhamsueva G.S. et al. 2022. Variability of the chemical composition of the atmospheric aerosol in the coastal zone of the southern basin of Lake Baikal (East Siberia, Russia). *Atmosphere* 13(7): 1090. DOI: [10.3390/atmos13071090](https://doi.org/10.3390/atmos13071090)
- Henry R., Norris G.A., Vedantham R. et al. 2009. Source Region Identification Using Kernel Smoothing. *Environmental Science & Technology* 43: 4090-4097. DOI: [10.1021/es8011723](https://doi.org/10.1021/es8011723)
- He Y., Uno I., Wang Z. et al. 2007. Variations of the increasing trend of tropospheric NO₂ over central east China during the past decade. *Atmospheric Environment* 41(23): 4865-4876. DOI: [10.1016/j.atmosenv.2007.02.009](https://doi.org/10.1016/j.atmosenv.2007.02.009)
- Karnae S., John K. 2011. Source apportionment of fine particulate matter measured in an industrialized coastal urban area of South Texas. *Atmospheric Environment* 45(23): 3769-3776. DOI: [10.1016/j.atmosenv.2011.04.040](https://doi.org/10.1016/j.atmosenv.2011.04.040)
- Khodzher T.V., Sorokovikova L.M. 2007. An assessment of the entry of soluble substances from the atmosphere and with the river runoff into Lake Baikal. *Geography and Natural Resources* 3: 185-191.
- Khodzher T.V., Yausheva E.P., Shikhovtsev M.Yu. et al. 2024. Black Carbon in the Air of the Baikal Region, (Russia): Sources and Spatiotemporal Variations. *Applied sciences* 14(16): 1-18. DOI: [10.3390/app14166996](https://doi.org/10.3390/app14166996)
- Kovadlo P., Shikhovtsev A., Lukin V. et al. 2018. Solar activity variations inducing effects of light scattering and refraction in the Earth's atmosphere. *Journal of Atmospheric and Solar-Terrestrial Physics* 179: 468-471. DOI: [10.1016/j.jastp.2018.06.001](https://doi.org/10.1016/j.jastp.2018.06.001)
- Lelieveld J., Evans J.S., Fnais M. et al. 2015. The contribution of outdoor air pollution sources to premature mortality on a global scale. *Nature* 525 (7569): 367-371. DOI: [10.1038/nature15371](https://doi.org/10.1038/nature15371)
- Liu J., Guo Z., Zhou L. et al. 2022. Inversion and analysis of aerosol optical properties and lidar ratios based on sky-radiometer and Raman lidar measurements in Xi'an, China. *Frontiers in Environmental Science* 10(1039559): 1-17. DOI: [10.3389/fenvs.2022.1039559](https://doi.org/10.3389/fenvs.2022.1039559)
- Liu Y., Xu X., Ji D. et al. 2024. Examining trends and variability of PM2.5 associated organic and elemental carbon in the megacity of Beijing, China: Insight from decadal continuous in-situ hourly observations. *Science of The Total Environment* 938(173331): 1-14. DOI: [10.1016/j.scitotenv.2024.173331](https://doi.org/10.1016/j.scitotenv.2024.173331)
- Liu Y., Zheng M., Yu M. et al. 2019. High-time-resolution source apportionment of PM 2.5 in Beijing with multiple models. *Atmospheric Chemistry and Physics* 19(9): 6595-6609. DOI: [10.5194/acp-19-6595-2019](https://doi.org/10.5194/acp-19-6595-2019)
- Malnik V.V., Gorshkova A.S., Tomberg I.V. et al. 2024. Coastal Water Quality in Lake Baikal in Bol'shie Koty Bay, Determined by the Effect of Atmospheric Precipitation and the Survival of Indicator Microorganisms. *Water Resources* 51: 267-283. DOI: [10.1134/S0097807824700787](https://doi.org/10.1134/S0097807824700787)
- Marinaite I.I., Potyomkin V.L., Khodzher T.V. 2019. Distribution characteristics of PAHs and solid particles over the water area of lake Baikal during wildfires in summer 2018. *Proceedings of SPIE* 11208: 1-6. DOI: [10.1117/12.2539014](https://doi.org/10.1117/12.2539014)
- Mashyanov N.R., Pogarev S.E., Sholupov S.E. et al. 2022. Air mercury monitoring in the Baikal area (2011-2021). *Limnology and Freshwater Biology* 3: 1315-1318. DOI: [10.31951/2658-3518-2022-A-3-1315](https://doi.org/10.31951/2658-3518-2022-A-3-1315)
- Maysuk E.P. 2017. The role of energy in the ecological state of the Baikal natural territory. *Geography and natural resources* 1: 100-107. DOI: [10.2178/GIPR0206-1619-2017-1\(100-107\)](https://doi.org/10.2178/GIPR0206-1619-2017-1(100-107))
- Moiseenko T.I., Bazova M.M., Gashkina N.A. 2022. Development of lake from acidification to eutrophication in the arctic region under reduced acid deposition and climate warming. *Water* 14(21): 1-19. DOI: [10.3390/w14213467](https://doi.org/10.3390/w14213467)
- Moiseenko T.I., Dinu M.I., Gashkina N.A. et al. 2018. Present status of water chemistry and acidification under nonpoint sources of pollution across European Russia and West Siberia. *Environmental Research Letters* 13(105007): 1-13. DOI: [10.1088/1748-9326/aae268](https://doi.org/10.1088/1748-9326/aae268)
- Molozhnikova E.V., Kuchmenko E.V. 2004. Estimation of some characteristics of sulfate formation and fallout of sulfates in towns of Baikal region. *Optics of the atmosphere and ocean* 17(5-6): 418-422.
- Molozhnikova Y.V., Shikhovtsev M.Yu., Netsveteva O.G. et al. 2023. Ecological Zoning of the Baikal Basin Based on the Results of Chemical Analysis of the Composition of Atmospheric Precipitation Accumulated in the Snow Cover. *Applied sciences* 13(14): 1-17. DOI: [10.3390/app13148171](https://doi.org/10.3390/app13148171)
- Nasonov S., Balin Y., Klemasheva M. et al. 2023. Study of Atmospheric Aerosol in the Baikal Mountain Basin with Shipborne and Ground-Based Lidars. *Remote sensing* 15(3816): 1-18. DOI: [10.3390/rs15153816](https://doi.org/10.3390/rs15153816)
- Obolkin V., Khodzher T., Sorokovikova L. et al. 2016. Effect of long-range transport of sulphur and nitrogen oxides from large coal power plants on acidification of river waters in the Baikal region, East Siberia. *International Journal of Environmental Studies* 73(3): 452-461. DOI: [10.1080/00207233.2016.1165481](https://doi.org/10.1080/00207233.2016.1165481)
- Obolkin V.A., Potemkin V.L., Makukhin V.L. et al. 2014. Low-level atmospheric jets as main mechanism of long-range transport of power plant plumes in the Lake Baikal Region. *International Journal of Environmental Studies* 71(3): 391-397. DOI: [10.1080/00207233.2014.918396](https://doi.org/10.1080/00207233.2014.918396)
- Obolkin V.A., Potemkin V.L., Makukhin V.L. et al. 2017. Long-range transport of plumes of atmospheric emissions from regional coal power plants to the South Baikal water basin. *Atmospheric and Oceanic Optics* 30(4): 360-365. DOI: [10.1134/S1024856017040078](https://doi.org/10.1134/S1024856017040078)
- Obolkin V.A., Volkova E.A., Ohira S.I. et al. 2019. The role of atmospheric precipitation in the under-ice blooming of endemic dinoflagellate *Gymnodinium baicalense* var. minor Antipova in Lake Baikal. *Limnology and Freshwater Biology* 6: 345-352. DOI: [10.31951/2658-3518-2019-A-6-345](https://doi.org/10.31951/2658-3518-2019-A-6-345)
- Popovicheva O., Molozhnikova E., Nasonov S. et al. 2021. Industrial and wildfire aerosol pollution over world heritage Lake Baikal. *Journal of Environmental Sciences* 107: 49-64. DOI: [10.1016/j.jes.2021.01.011](https://doi.org/10.1016/j.jes.2021.01.011)
- Seinfeld J.H., Pandis S.N. 2016. Atmospheric chemistry and physics: from air pollution to climate change. New York: Wiley-VCH.
- Shikhovtsev M.Y., Molozhnikova Y.V., Obolkin V.A. et al. 2024. Features of Temporal Variability of the Concentrations of Gaseous Trace Pollutants in the Air of the Urban and Rural Areas in the Southern Baikal Region (East Siberia, Russia). *Applied Sciences* 14(18): 1-19. DOI: [10.3390/app14188327](https://doi.org/10.3390/app14188327)
- Shikhovtsev M.Yu., Obolkin V.A., Khodzher T.V. et al. 2023. Variability of the Ground Concentration of Particulate Matter PM1—PM10 in the Air Basin of the Southern Baikal Region. *Atmospheric and Oceanic Optics* 36(6): 655-662. DOI: [10.1134/S1024856023060192](https://doi.org/10.1134/S1024856023060192)

- Shon Z.H., Kim K.H., Song S.K. 2011. Long-term trend in NO₂ and NO_x levels and their emission ratio in relation to road traffic activities in East Asia. *Atmospheric Environment* 45(18): 3120-3131. DOI: [10.1016/j.atmosenv.2011.03.009](https://doi.org/10.1016/j.atmosenv.2011.03.009)
- Sicard P., Agathokleous E., Anenberg S.C. et al. 2023. Trends in urban air pollution over the last two decades: A global perspective. *Science of The Total Environment* 858(160064): 1-13. DOI: [10.1016/j.scitotenv.2022.160064](https://doi.org/10.1016/j.scitotenv.2022.160064)
- Sillanpää S., Fung P.L., Niemi J.V. et al. 2022. Long-term air quality trends of regulated pollutants in the Helsinki metropolitan area from 1994–2019 and its implications to the Air Quality Index. *Boreal Environment Research* 27: 61-79. DOI: [10.1547/porel.1254.238](https://doi.org/10.1547/porel.1254.238)
- Southerland V.A., Brauer M., Mohegh A. et al. 2022. Global urban temporal trends in fine particulate matter (PM_{2.5}) and attributable health burdens: estimates from global datasets. *The Lancet Planetary Health* 6(2): e139-e146. DOI: [10.1016/S2542-5196\(21\)00350-8](https://doi.org/10.1016/S2542-5196(21)00350-8)
- Stein A.F., Draxler R.R., Rolph G.D. et al. 2015. NOAA's HYSPLIT atmospheric transport and dispersion modeling system. *Bulletin of the American Meteorological Society* 96(12): 2059-2077. DOI: [10.1175/BAMS-D-14-00110.1](https://doi.org/10.1175/BAMS-D-14-00110.1)
- Taschilin M., Yakovleva I., Sakerin S. et al. 2021. Spatiotemporal variations of aerosol optical depth in the atmosphere over Baikal region based on MODIS data. *Atmosphere* 12(12): 1-10. DOI: [10.3390/atmos12121706](https://doi.org/10.3390/atmos12121706)
- Tiotiu A.I., Novakova P., Nedeva D. et al. 2020. Impact of air pollution on asthma outcomes. *International journal of environmental research and public health* 17(17): 1-29. DOI: [10.3390/ijerph17176212](https://doi.org/10.3390/ijerph17176212)
- Tomberg I.V., Sorokovikova L.M., Netsvetaeva O.G. et al. 2016. Chemical composition and acidification trend of snow and tributary waters of South Baikal. *Optics of the atmosphere and ocean* 29(6): 516-520. DOI: [10.15372/AOO20160612](https://doi.org/10.15372/AOO20160612)
- Zayakhanov A.S., Zhamsueva G.S., Tsydypovet V.V. et al. 2019. Specific features of transport and transformation of atmospheric aerosol and gas admixtures in the coastal zone of Lake Baikal. *Atmospheric and Oceanic Optics* 32: 158-164. DOI: [10.1134/S1024856019020192](https://doi.org/10.1134/S1024856019020192)
- Zhamsueva G., Zayakhanov A., Khodzher T. et al. 2022. Studies of the dispersed composition of atmospheric aerosol and its relationship with small gas impurities in the near-water layer of Lake Baikal based on the results of ship measurements in the summer of 2020. *Atmosphere* 13(1): 139. DOI: [10.3390/atmos13010139](https://doi.org/10.3390/atmos13010139)
- Zhamsueva G., Zayakhanov A., Tcydypov V. et al. 2020. Spatial-temporal variability of small gas impurities over lake Baikal during the forest fires in the summer of 2019. *Atmosphere* 12(1): 20. DOI: [10.3390/atmos12010020](https://doi.org/10.3390/atmos12010020)

Результаты синхронных измерений содержания оксидов азота и серы в атмосфере Южного Байкала в июле 2023 г

Шиховцев М.Ю.¹, Моложникова Е.В.¹, Ходжер Т.В.¹, Жамсуева Г.С.²,
Цыдыпов В.В.², Тюрнев И.Н.^{1*}

¹ Лимнологический институт Сибирского Отделения Российской Академии Наук, ул. Улан-Баторская, 3, Иркутск, 664033, Россия
² Институт физического материаловедения Сибирского отделения РАН, ул. Сахьяновой, 6, г. Улан-Удэ, 670047, Россия

АННОТАЦИЯ. В работе представлены результаты синхронных измерений содержания малых газовых примесей на трех станциях мониторинга атмосферы, расположенных на побережье Южного Байкала, июль 2023 г. Измерения проведены с помощью автоматических газоанализаторов, что позволило получить данные о содержании оксидов серы и азота в атмосферном воздухе с высоким времененным разрешением. Исследования показали, что, несмотря на небольшое расстояние между станциями наблюдений, колебания концентраций малых газовых примесей на разных берегах Южного Байкала происходят независимо друг от друга. Было выдвинуто предположение, что повышение концентраций оксидов азота и серы на западном побережье в летний период больше связано с воздействием региональных ТЭЦ, а на восточном с орографическими особенностями южной котловины озера и местными источниками. С использованием методов многомерной статистики, таких как NWR и PSCF, были получены оценки влияния метеорологических условий на содержание газовых компонентов в атмосфере Южного Байкала.

Ключевые слова: загрязнение воздуха, диоксид серы, оксиды азота, Байкальская природная территория, Сибирь

Для цитирования: Шиховцев М.Ю., Моложникова Е.В., Ходжер Т.В., Жамсуева Г.С., Цыдыпов В.В., Тюрнев И.Н. Результаты синхронных измерений содержания оксидов азота и серы в атмосфере Южного Байкала в июле 2023 г // Limnology and Freshwater Biology. 2024. - № 5. - С. 1284-1301. DOI: 10.31951/2658-3518-2024-A-5-1284

1. Введение

Оксиды серы (SO_2) и азота ($\text{NO}_x = \text{NO} + \text{NO}_2$) являются распространенными атмосферными примесями, которые играют значительную роль в тропосфере, и приводят к возникновению ряда экологических проблем, таких как кислотные дожди, подкисление пресноводных экосистем (Moiseenko et al., 2018; 2022; Obolkin et al., 2016) и фотохимический смог (He et al., 2007; Shon et al., 2011). Как известно, оксиды серы и азота в атмосфере способствуют генерации аэрозольных частиц аэродинамическим диаметром менее 2,5 мкм (Seinfeld and Pandis, 2016; Liu et al., 2019), которые в свою очередь оказывают негативное воздействие на здоровье человека (Lelieveld et al., 2015; Tiotiu et al., 2020; Southerland et al., 2022), способствуют уменьшению прозрачности атмосферы (Kovadlo et al., 2018; Taschilin et al., 2021), приводят к усилению парни-

кового эффекта и изменению климата (Gharibzadeh et al., 2021; Liu et al., 2022). Кроме того, оксиды азота являются прекурсорами для образования приземного озона, что приводит к ухудшению качества воздуха и негативно влияет на здоровье людей.

За последние четыре десятилетия по всему миру, одновременно с улучшением состояния воздуха в промышленных городах (Fenger, 2009; Sillanpää et al., 2022), происходит увеличение содержания малых газовых примесей в атмосфере фоновых районов (Golobokova et al., 2018a; Sicard et al., 2023). Данная тенденция справедлива и для Байкальского региона, в атмосфере которого отмечается рост содержания оксидов азота (Golobokova et al., 2018b). Ранее было установлено, что значительное загрязнение атмосферы Южного Байкала происходит за счет высотного переноса оксидов серы и азота со стороны удаленных региональных ТЭЦ, расположенных к северо-западу (Obolkin et

*Автор для переписки.

Адрес e-mail: tyurnev@lin.irk.ru (И.Н. Тюрнев)

Поступила: 03 октября 2024; Принята: 28 октября 2024;
Опубликована online: 31 октября 2024

© Автор(ы) 2024. Эта работа распространяется под международной лицензией Creative Commons Attribution-NonCommercial 4.0.



al., 2014; Shikhovtsev et al., 2023) и юго-востоку от озера (Obolkin et al., 2017; Popovicheva et al., 2021). Выбросы от источников загрязнения атмосферы, расположенных в пределах Центральной экологической зоны озера, как правило, распространяются локально и их вклад в общий уровень загрязнения атмосферы над озером в холодный период незначителен (Моложникова и Кучменко, 2004; Molozhnikova et al., 2023).

В летний период значимым источником, определяющим состояние атмосферы над озером, являются лесные пожары. Так, в ходе исследований (Marinaite et al., 2019; Golobokova et al., 2022; Khodzher et al., 2024) зафиксирован рост концентрации оксидов азота, серы, стойких органических загрязнителей, включая полиароматические углеводороды (ПАУ), сажи, биогенных элементов (минеральный азот, калий), микроэлементов (железо, марганец, ванадий, цинк, барий, свинец) как в атмосфере, так и в поверхностных водах озера. Продолжительное поступление азот- и серосодержащих веществ в атмосферу над Южным Байкалом привело к снижению уровня pH атмосферных осадков, которые являются основным источником питания юго-восточных притоков озера. Это, в свою очередь, вызвало закисление речных вод (Томберг и др., 2016).

В работе (Khodzher and Sorokovikova, 2007) показано, что от 2 до 6% растворимых компонентов, и от 30 до 60% питательных веществ поступают в водосборную зону озера Байкал из атмосферы, обеспечивая дополнительный приток питательных веществ. Выпадение атмосферных осадков с повышенным содержанием азота может быть одним из ключевых факторов, способствующих массовому развитию подледного сообщества динофлагеллят *Gymnodinium baicalense* var. *minor* Antipova в бухте Лиственничная (Южный Байкал) в 2018 г. (Obolkin et al., 2019). В бухте Большие Коты, расположенной на южном берегу озера Байкал, неоднократно наблюдались подобные явления. В июле 2019 года после четырёхдневных ливней, обогащённых азотом и фосфором, произошло массовое размножение цианобактерий (Bondarenko et al., 2021). В июне 2022 года из-за обильных осадков (34 мм) в этом же районе увеличилось количество фекальных индикаторных бактерий (Malnik et al., 2024).

Таким образом, газовые примеси могут оказывать влияние на формирование химического состава байкальской воды и определяют её качество. Благодаря внутренкотловинной циркуляции воздуха (Аршинов и др., 2001) примеси, попадающие в атмосферу, могут переноситься по всей акватории, способствуя загрязнению гидросферы региона. Более того, в горном бассейне могут накапливаться загрязняющие вещества не только из местных источников, но и с обширных территорий Сибири, Китая и Монголии (Mashyanov et al., 2022; Nasonov et al., 2023). Все эти процессы необходимо изучать, чтобы прогнозировать изменения окружающей среды в регионе с точки зрения негативного воздействия на уникальные природные объекты.

В исследовании поставлена цель определить, как малые атмосферные примеси распределяются в атмосфере Южного Байкала, и оценить местоположение удалённых источников в период минимального воздействия региональных ТЭЦ. Для этого использовались данные непрерывной автоматической регистрации концентрации малых газовых примесей в атмосферном воздухе Южного Байкала с высокой частотой измерений.

2. Материалы и методы

2.1. Расположение станций и используемое оборудование

Измерения проводились одновременно на трех станциях: «Листвянка» (51,84 с.ш., 104,89 в.д.), «Большие Коты» (51,89 с.ш., 105,06 в.д.) и «Боярский» (51,84 с.ш., 106,07 в.д.). Расположение станций наблюдения, крупнейших стационарных источников загрязнения атмосферы и карта-схема района исследования представлены на Рисунке 1. Измерения выполнялись с помощью хемилюминесцентных газоанализаторов фирмы ОПТЕК (Санкт-Петербург, Россия): СВ-320 и СВ-320А (SO_2); РА-310А (NO_2 и NO); с пределом обнаружения 0,001 мг/м³, приведенной погрешностью $\pm 25\%$ в диапазоне от 0 мг/м³ до 0,05 мг/м³ и относительной погрешностью $\pm 25\%$ в диапазоне от 0,05 мг/м³ до 2,0 мг/м³. Данные приборы проходят ежегодную поверку в лаборатории ОПТЕК. Сведения о направлении и скорости ветра получены с помощью акустической метеорологической системы АМК-11 (стационар «Боярский») и метеокомплекса Сокол-М (станции «Листвянка» и «Большие Коты»).

2.2. Непараметрическая регрессия ветра (NWR)

Для выявления потенциальных локальных источников загрязнения атмосферы на основе метеорологических данных была использована рецепторная модель непараметрической регрессии ветра (NWR) (Henry et al., 2009). В этом исследовании для анализа NWR использовался пакет openair (язык R), при этом для результирующего направления и скорости ветра был принят метод сглаживания ядра Гаусса (Carslaw and Ropkins, 2012). Анализ NWR определяется следующими образом (1) и (2):

$$E(C|\theta, u) = \frac{\sum_{i=1}^N K_1\left(\frac{(\theta - W_i)}{\sigma}\right) K_2\left(\frac{(u - U_i)}{h}\right) C_i W_i}{\sum_{i=1}^N K_1\left(\frac{(\theta - W_i)}{\sigma}\right) K_2\left(\frac{(u - U_i)}{h}\right)} \quad (1)$$

$$K(x) = \frac{1}{\sqrt{2\pi}} \cdot e^{-0.5x^2} \quad (2)$$

где C_i – измеренная концентрация загрязняющего вещества, U_i и W_i – результирующая скорость ветра и стандартное отклонение направления ветра для i -го наблюдения. N – общее количество наблюде-

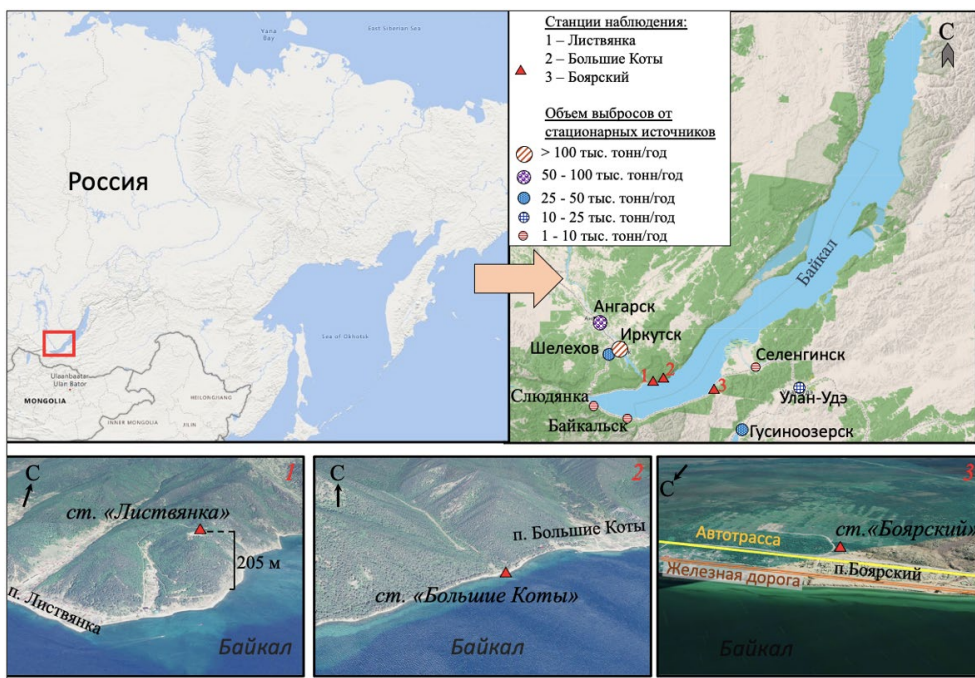


Рис.1. Расположение станции отбора проб: 1 – «Листвянка»; 2 – «Большие Коты»; 3 – «Боярский» и карта исследуемой местности

ний; K_1 и K_2 – сглаживающие ядра; θ – направление ветра; u – скорость ветра; i и h являются параметрами сглаживания для направления и скорости ветра соответственно.

2.3. Функция вклада потенциальных источников (PSCF)

Определение местоположения удаленных источников анализируемых загрязняющих веществ выполнено с помощью функции вклада потенциальных источников (PSCF). Метод основан на анализе обратных траекторий движения воздушных масс. Обратные траектории продолжительностью 72 часа, необходимые для анализа, генерированы с помощью модели HYSPLIT, разработанной Национальным управлением океанических и атмосферных исследований (NOAA) (Draxler and Hess, 1998; Stein et al., 2015). PSCF рассчитывается с учетом вероятности возникновения i концентрации в каждой ячейке сетки и рассчитывается с использованием следующего уравнения (3):

$$PSCF_{i,j} = \frac{m_{ij}}{n_{ij}} \quad (3)$$

где m_{ij} – количество точек, концентрация которых превышает пороговое значение, а n_{ij} – количество конечных точек обратных путей, которые проходят через каждую ячейку сетки (Karnaee and John, 2011; Liu et al., 2024).

3. Результаты и обсуждения

3.1. Содержание газовых примесей в атмосфере Южного Байкала

В исследовании рассмотрены результаты анализа данных о концентрации SO_2 , NO и NO_2 в при-

земном слое атмосферы в районе Южного Байкала, которые были получены в период с 17 по 28 июля 2023 года. На Рисунке 2 продемонстрированы результаты измерений приземных концентраций оксидов азота и серы на трех станциях мониторинга. Как видно из Рисунка 2 наибольшая изменчивость зафиксирована для диоксида серы. Среднечасовые концентрации SO_2 на станции «Боярский» изменились в пределах от 5 до 30 $\mu\text{g}/\text{m}^3$, на станции «Листвянка» от 0 до 28 $\mu\text{g}/\text{m}^3$. В среднем за период наблюдений концентрации SO_2 на юго-восточном побережье составили 15 $\mu\text{g}/\text{m}^3$, на юго-западном – 5 $\mu\text{g}/\text{m}^3$, что хорошо согласуется с измерениями, проведенными в ходе корабельных экспедиций 2020-2022 гг. (Zhamsueva et al., 2020), так и наземными измерениями проведенных на станции Боярский в 2015 г. (Zayakhanov et al., 2019).

Наибольший размах концентраций оксидов азота, также зафиксирован на станции «Боярский». Здесь за период наблюдения концентрации диоксида азота повышались до 33 $\mu\text{g}/\text{m}^3$,monoоксида азота до 7 $\mu\text{g}/\text{m}^3$. Как видно из Рисунка 2-В на станции «Боярский» периодически регистрировались краткосрочные эпизоды подъема концентрации диоксида азота выше 20 $\mu\text{g}/\text{m}^3$.

3.2. Идентификация локальных источников с использованием модели NWR

Для оценки влияния метеорологических параметров на содержание примесей в атмосфере для всех станций проведен анализ с использованием рецепторной модели непараметрической регрессии ветра (NWR). В качестве зависимой переменной выбрана 10-минутная концентрация примесей (NO , NO_2 , SO_2), а в качестве предикторных переменных среднее направление и скорость ветра (Рис. 3-8).

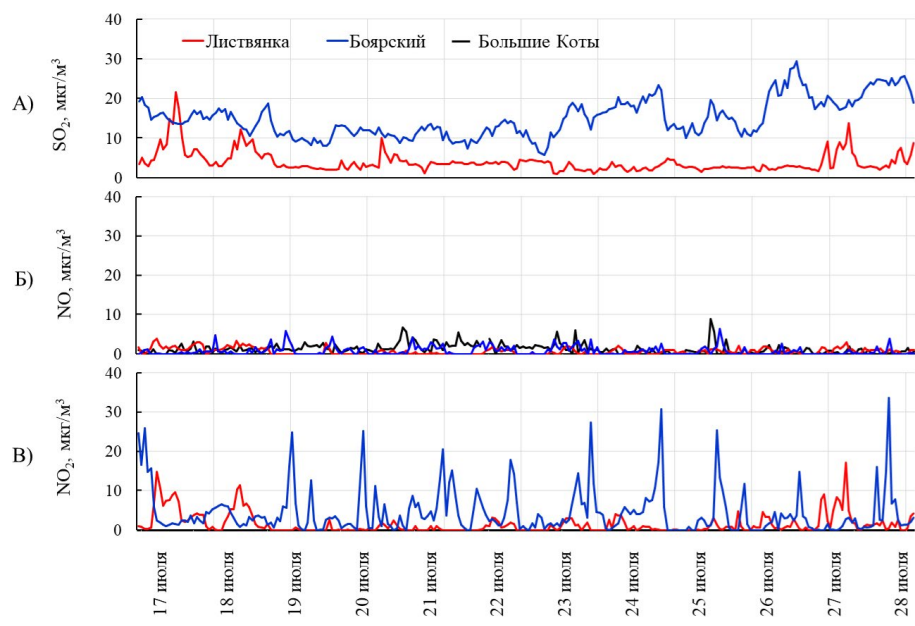


Рис.2. Временная изменчивость среднечасовых значений: А) диоксида серы; Б) оксида азота; В) диоксида азота на станциях «Листянка», «Большие Коты», «Боярский» с 17 по 28 июля 2023 г.

В результате проведённого анализа (Рис. 3-5) было установлено, что наибольшее содержание SO₂, NO и NO₂, в приземной атмосфере станции «Листянка» было зафиксировано в ночные и утренние часы (с 00:00 до 08:00), при ветрах северного и северо-западного направления со скоростями от 1 до 4 м/с. Это связано с тем, что выбросы оксидов азота и серы, распространяющиеся на высотах (со шлейфами ТЭЦ), ввиду уменьшения толщины пограничного слоя атмосферы и ослабления термической конвекции могут опускаться ниже. В дневные часы, в силу нагрева земной поверхности и пограничного слоя атмосферы, усиливается развитие турбулентности, что способствует улучшению условий рассеивания примесей. Ветровой режим становится более разнообразным, что приводит к понижению концентраций оксидов серы и азота до летних фоно-

вых значений Южного Байкала (Zhamsueva et al., 2022; Shikhovtsev et al., 2024). В суточной динамике оксидов азота выделяется второе повышение с 12 до 15 часов. В суточной динамике оксидов азота выделяется второе повышение с 12:00 до 15:00. Данное повышение возникало при ветрах юго-восточного, южного и юго-западного направлений, что соответствует расположению посёлка Листянка и залива Лиственничный. Вероятными источниками данных газовых примесей могут являться автомобильный и водный транспорт.

На стационаре «Боярский» наибольшие концентрации SO₂ и NO₂ были зафиксированы при ветрах южного и юго-западного направлений. Эти направления соответствуют расположению локальных источников загрязнения атмосферы, которые находятся на юго-восточном побережье озера Байкал

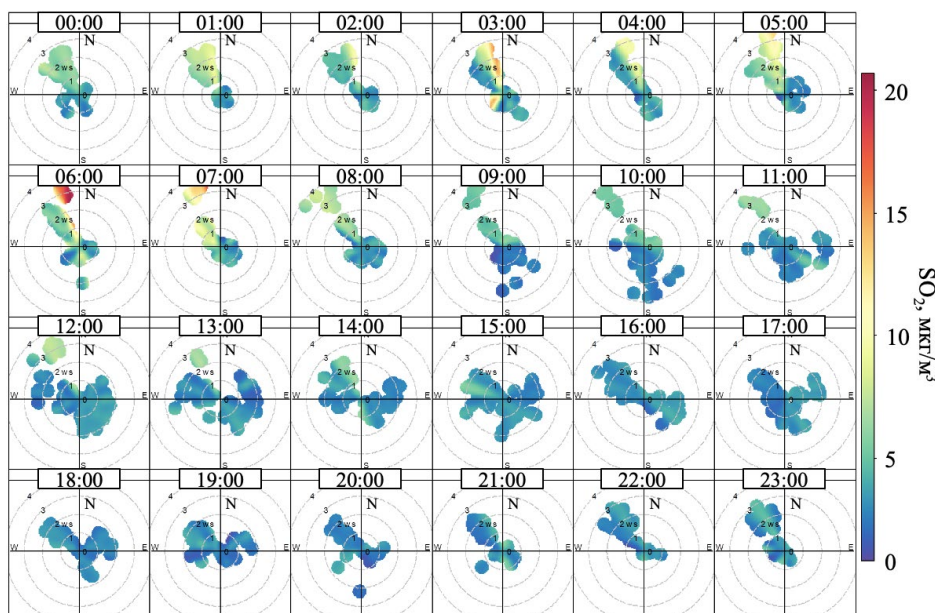


Рис.3. NWR-анализ для десятиминутных концентраций SO₂ в полярной системе координат на ст. «Листянка», июль 2023 г.

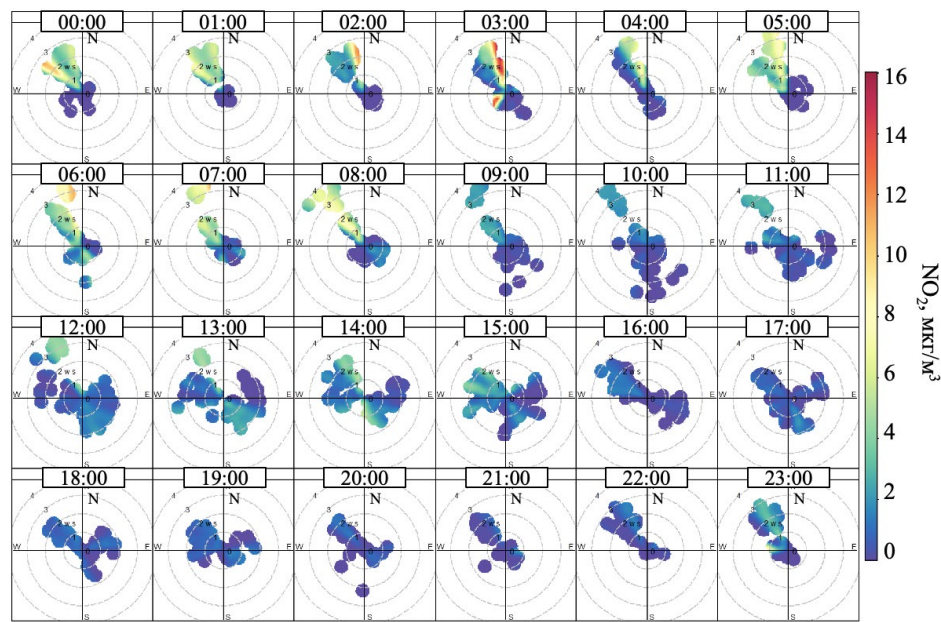


Рис.4. NWR-анализ для десятиминутных концентраций NO_2 в полярной системе координат на ст. «Листвянка», июль 2023 г.

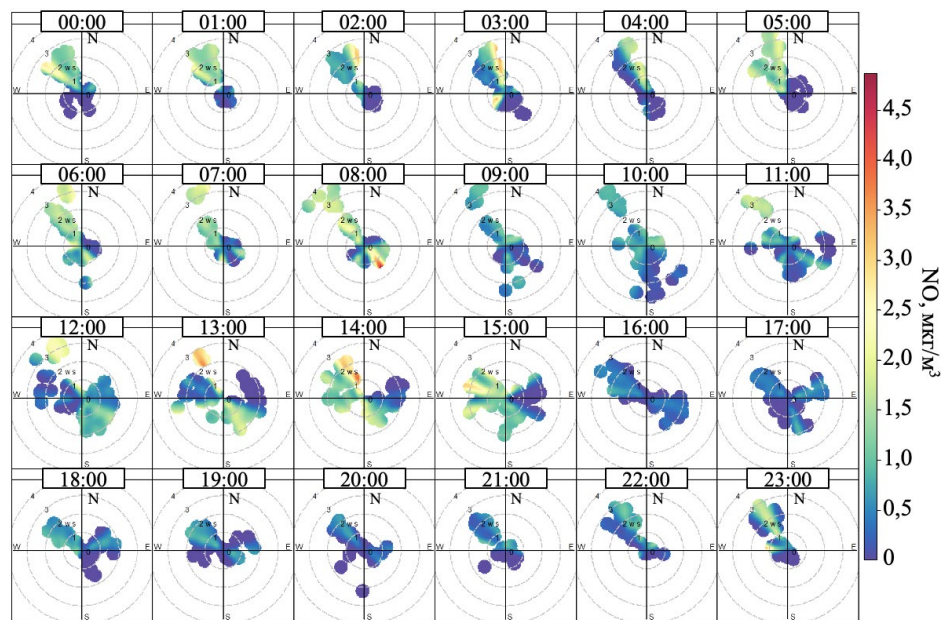


Рис.5. NWR-анализ для десятиминутных концентраций NO в полярной системе координат на ст. «Листвянка», июль 2023 г.

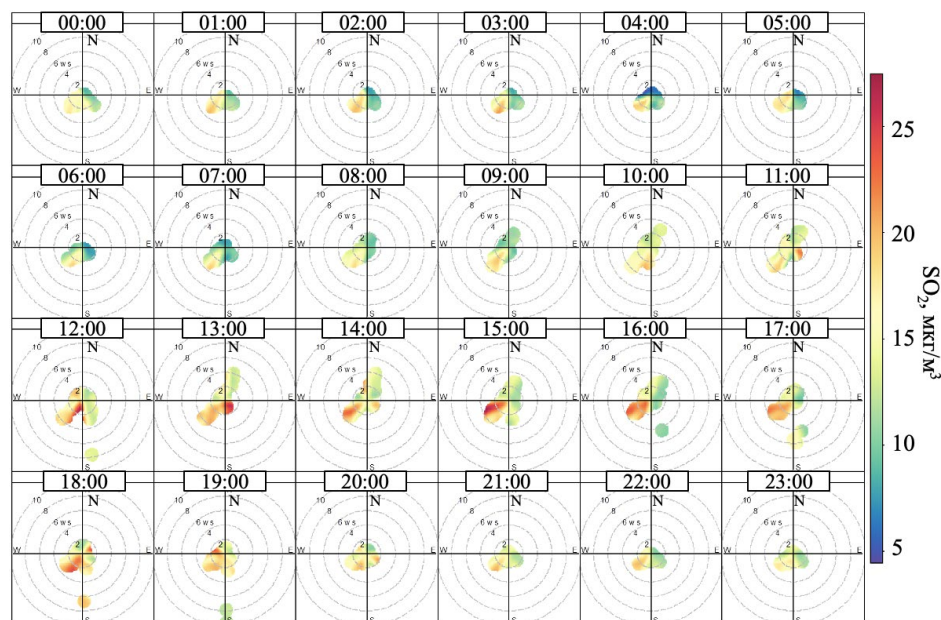


Рис.6. NWR-анализ для десятиминутных концентраций SO_2 в полярной системе координат на ст. «Боярский», июль 2023 г.

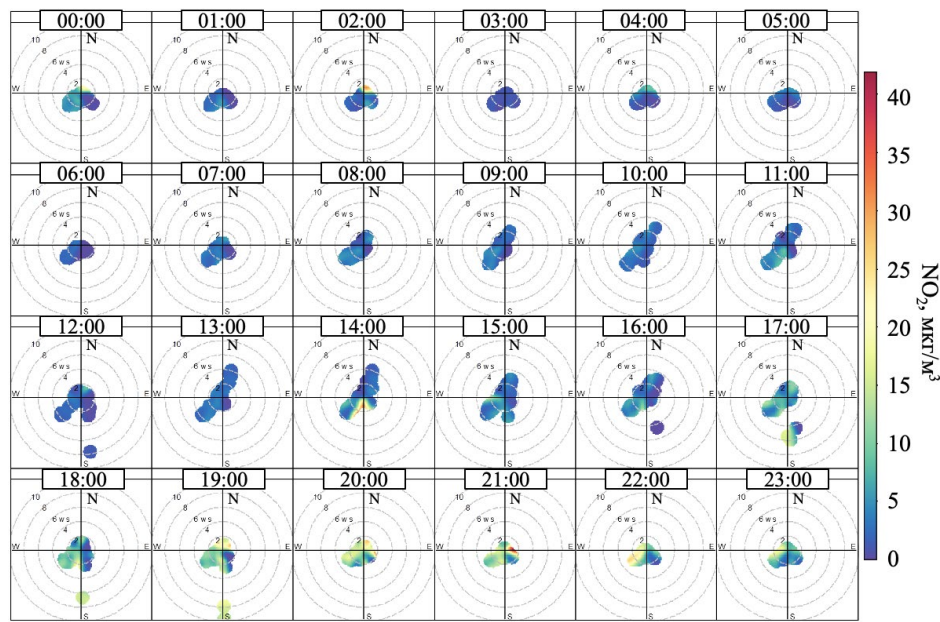


Рис.7. NWR-анализ для десятиминутных концентраций NO_2 в полярной системе координат на ст. «Боярский», июль 2023 г.

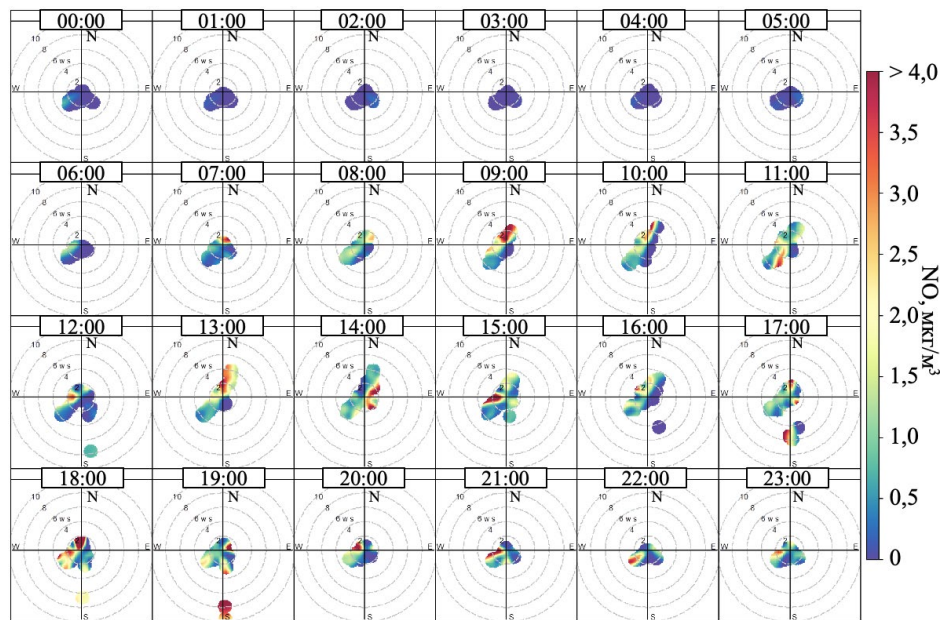


Рис.8. NWR-анализ для десятиминутных концентраций NO в полярной системе координат на ст. «Боярский», июль 2023 г.

(Рис. 6–7). Согласно NWR анализу, были выявлены отдельные эпизоды, когда воздушные массы, обогащённые оксидами азота и серы, переносятся с юга вдоль долины реки Мантуриха. Проведённый расчёт прямых траекторий движения воздушных масс (Рис. 9) показал, что повышение содержания оксидов серы и азота на стационаре «Боярский» может быть связано с влиянием удаленных источников, расположенных в городе Гусиноозерск.

NWR-анализ, проведённый для NO (Рис. 8), демонстрирует, что концентрацияmonoоксида азота возрастает в период с 7 до 23 часов по местному времени вне зависимости от направления ветра. Это может указывать на то, что стационар «Боярский» подвержен влиянию локальных источников загрязнения атмосферы, таких как автотранспорт. В ночные часы концентрации NO снижаются до значений, близких к пределу обнаружения прибора.

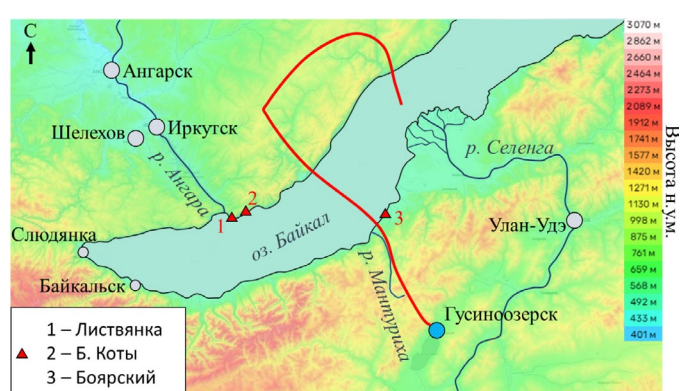


Рис.9. Топографическая карта исследуемого региона (<https://ru-ru.topographic-map.com>) и прямая траектория движения воздушных масс от стационарных источников г. Гусиноозерск на высоте 500 м AGL, 20.07.2023 7:00 MB.

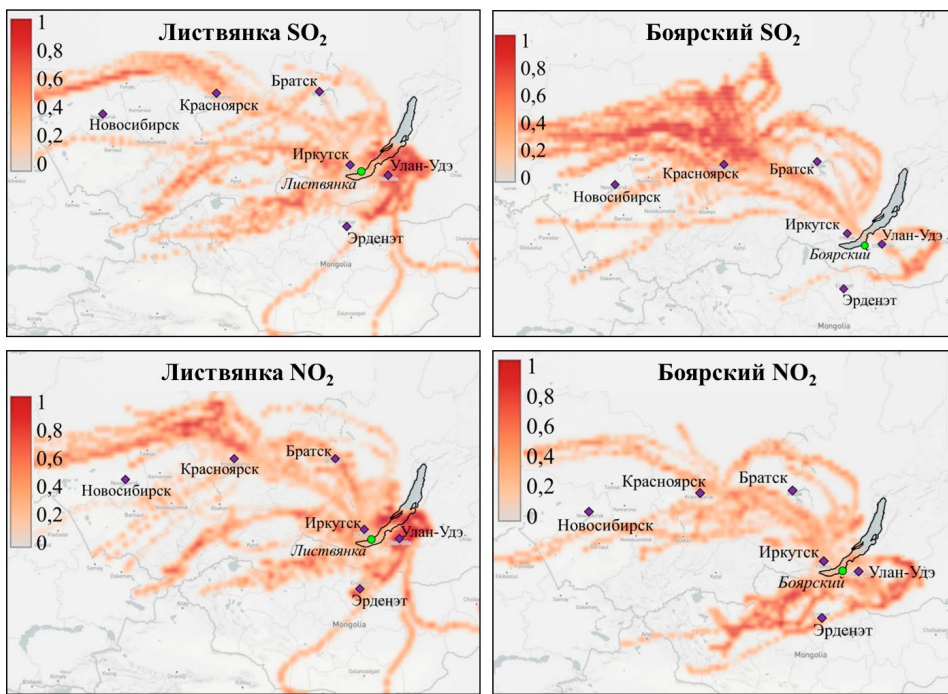


Рис.10. Пространственное распределение вероятности расположения источника SO_2 и NO_2 на ст. «Листвянка» и «Боярский» выполненное с помощью PSCF-анализа с 17 по 28 июля

3.3. Идентификация удаленных источников с использованием анализа PSCF

Для определения областей потенциальных источников газовых примесей – NO_2 и SO_2 в атмосфере Южного Байкала мы использовали метод методов многомерной статистики, основанный на совместном анализе обратных траекторий, рассчитанных с помощью модели HYSPLIT и измерениях приземных концентраций малых газовых примесей. Чтобы оценить удаленные источники продолжительность обратных траекторий принималась равной 72 часам. Расчеты проводились для 1000 метров над уровнем земли (AGL) за период с 17 по 28 июля 2023 г.

Результаты анализа PSCF представлены на Рисунке 10. Из расчетов видно, что вероятности расположения удаленных источников для NO_2 и SO_2 (более 0,5) схожи для двух станций. Первый максимум определен к северу, северо-западу от станций наблюдения. Воздушные массы, входящие в данный сектор характеризуются, как арктические и умеренные, сформировавшиеся над Северной Атлантикой и трансформировавшиеся при движении над промышленными районами Западной и Восточной Сибири, где крупными источниками поступления оксидов азота и серы являются предприятия топливно-энергетического комплекса (Майсюк, 2017). Поэтому можно предположить, что на начало исследования (с 17 по 23 июля), когда в приземном слое наблюдалась, стабильная атмосфера с незначительными северо-западными потоками, направленными в сторону Южного Байкала, вклад в загрязнение воздушного бассейна южной котловины озера оказывали влияние не только источники Иркутско-Черемховского промышленного узла, но и промышленные города Новосибирской области,

Красноярского края и севера Иркутской области. Это согласуется с данными приземных измерений, продемонстрированных на Рисунках 2-5.

Второй максимум вероятности расположения удаленных источников визуализируется к югу, юго-востоку озера. Он связан с изменением метеорологической ситуации в регионе 23 июля. Станции мониторинга находились под влиянием малоградиентного поля атмосферного давления со слабыми местными ветрами различных направлений, (Рис. 3-8) с небольшим преобладанием южных и юго-восточных ветров станция «Листвянка» и юго-западных, южных ветров на станцию «Боярский». На состояние воздушного бассейна Южного Байкала оказывали влияния воздушные массы, сформировавшиеся над территорией Казахстана и Монголии. Исходя из Рисунка 10 мы видим, что основные источники расположены в промышленных городах Республики Бурятия (гг. Улан-Удэ, Гусиноозерск и пп. Каменск, Селенгинск), а также незначительное влияние г. Эрденэт (Монголия).

4. Заключение

В летний период 2023 года на трех станциях мониторинга атмосферы в Южном Байкале синхронно проанализированы среднечасовые концентрации малых газовых примесей – оксидов серы и азота, метеорологические параметры, включая скорость и направление ветра. Результаты исследования показали, что, несмотря на небольшое расстояние между станциями наблюдений изменения в содержании малых газовых примесей на разных берегах Южного Байкала происходят независимо друг от друга. Причины таких изменений обусловлены расположением станций, особенностями внутренней циркуляции и расположением относительно антропогенных источников.

Оценки влияния метеорологических параметров на содержание газовых примесей в атмосфере Южного Байкала с использованием модели NWR показали, что, максимальные концентрации на западном побережье озера зафиксированы при ветрах северо-западного направления со скоростью от 1 до 4 м/с. Для восточного побережья озера характерно повышение концентраций при юго-западном в том же диапазоне скоростей.

С помощью функции вклада потенциальных источников (PSCF) определены местоположения удаленных источников, оказавших влияние на состав атмосферного воздуха в южной котловине озера летом 2023 г. Наиболее вероятный вклад, внесли источники расположенные на территории Республики Бурятия и Красноярского края.

Благодарности

Работа выполнена по теме государственного задания ЛИН СО РАН № 0279-2021-0014 «Исследование роли атмосферных выпадений на водные и наземные экосистемы бассейна озера Байкал, идентификация источников загрязнения атмосферы» (измерения на ст. «Листвянка») и гранта РНФ №19-77-20058 П (измерения на ст. «Большие Коты» и «Боярский»).

Конфликт интересов

Авторы заявляют об отсутствии конфликта интересов.

Список литературы

- Bondarenko N.A., Tomberg I.V., Shirokaya A.A. et al. 2021. *Dolichospermum lemmermannii* (Nostocales) bloom in world's deepest Lake Baikal (East Siberia): abundance, toxicity and factors influencing growth. Limnology and Freshwater Biology 1: 1101-1110. DOI: [10.31951/2658-3518-2021-A-1-1101](https://doi.org/10.31951/2658-3518-2021-A-1-1101)
- Carslaw D.C., Ropkins K. 2012. Openair—an R package for air quality data analysis. Environmental Modelling & Software 27: 52-61. DOI: [10.1016/j.envsoft.2011.09.008](https://doi.org/10.1016/j.envsoft.2011.09.008)
- Draxler R.R., Hess G.D. 1998. An overview of the HYSPLIT_4 modeling system for trajectories, dispersion, and deposition. Australian Meteorological Magazine 47: 295-308.
- Fenger J. 2009. Air pollution in the last 50 years—From local to global. Atmospheric environment 43(1): 13-22. DOI: [10.1016/j.atmosenv.2008.09.061](https://doi.org/10.1016/j.atmosenv.2008.09.061)
- Gharibzadeh M., Bidokhti A.A., Alam K. 2021. The interaction of ozone and aerosol in a semi-arid region in the Middle East: Ozone formation and radiative forcing implications. Atmospheric Environment 245(118015): 1-50. DOI: [10.1016/j.atmosenv.2020.118015](https://doi.org/10.1016/j.atmosenv.2020.118015)
- Golobokova L.P., Khodzher T.V., Obolkin V.A. et al. 2018. Aerosol in the atmosphere of the Baikal region: history and contemporary researches. Limnology and Freshwater Biology 1: 49-57. DOI: [10.31951/2658-3518-2018-A-1-49](https://doi.org/10.31951/2658-3518-2018-A-1-49)
- Golobokova L.P., Khodzher T.V., Obolkin V.A. et al. 2018. Long-term investigations of atmospheric aerosol and gaseous impurities in Southern Pribaikalye, East Siberia. International Journal of Environmental Sciences & Natural Resources 10(3): 74-84. DOI: [10.19080/IJESNR.2018.10.555786](https://doi.org/10.19080/IJESNR.2018.10.555786)
- Golobokova L.P., Khodzher T.V., Zhamisheva G.S. et al. 2022. Variability of the chemical composition of the atmo-
- spheric aerosol in the coastal zone of the southern basin of Lake Baikal (East Siberia, Russia). Atmosphere 13(7): 1090. DOI: [10.3390/atmos13071090](https://doi.org/10.3390/atmos13071090)
- Henry R., Norris G.A., Vedantham R. et al. 2009. Source Region Identification Using Kernel Smoothing. Environmental Science & Technology 43: 4090-4097. DOI: [10.1021/es8011723](https://doi.org/10.1021/es8011723)
- He Y., Uno I., Wang Z. et al. 2007. Variations of the increasing trend of tropospheric NO₂ over central east China during the past decade. Atmospheric Environment 41(23): 4865-4876. DOI: [10.1016/j.atmosenv.2007.02.009](https://doi.org/10.1016/j.atmosenv.2007.02.009)
- Karna S., John K. 2011. Source apportionment of fine particulate matter measured in an industrialized coastal urban area of South Texas. Atmospheric Environment 45(23): 3769-3776. DOI: [10.1016/j.atmosenv.2011.04.040](https://doi.org/10.1016/j.atmosenv.2011.04.040)
- Khodzher T.V., Sorokovikova L.M. 2007. An assessment of the entry of soluble substances from the atmosphere and with the river runoff into Lake Baikal. Geography and Natural Resources 3: 185-191.
- Khodzher T.V., Yasheva E.P., Shikhovtsev M.Yu. et al. 2024. Black Carbon in the Air of the Baikal Region, (Russia): Sources and Spatiotemporal Variations. Applied sciences 14 (16): 1-18. DOI: [10.3390/app14166996](https://doi.org/10.3390/app14166996)
- Kovadlo P., Shikhovtsev A., Lukin V. et al. 2018. Solar activity variations inducing effects of light scattering and refraction in the Earth's atmosphere. Journal of Atmospheric and Solar-Terrestrial Physics 179: 468-471. DOI: [10.1016/j.jastp.2018.06.001](https://doi.org/10.1016/j.jastp.2018.06.001)
- Lelieveld J., Evans J.S., Fnais M. et al. 2015. The contribution of outdoor air pollution sources to premature mortality on a global scale. Nature 525 (7569): 367-371. DOI: [10.1038/nature15371](https://doi.org/10.1038/nature15371)
- Liu J., Guo Z., Zhou L. et al. 2022. Inversion and analysis of aerosol optical properties and lidar ratios based on sky-radiometer and Raman lidar measurements in Xi'an, China. Frontiers in Environmental Science 10(1039559): 1-17. DOI: [10.3389/fenvs.2022.1039559](https://doi.org/10.3389/fenvs.2022.1039559)
- Liu Y., Xu X., Ji D. et al. 2024. Examining trends and variability of PM2.5 associated organic and elemental carbon in the megacity of Beijing, China: Insight from decadal continuous in-situ hourly observations. Science of The Total Environment 938(173331): 1-14. DOI: [10.1016/j.scitotenv.2024.173331](https://doi.org/10.1016/j.scitotenv.2024.173331)
- Liu Y., Zheng M., Yu M. et al. 2019. High-time-resolution source apportionment of PM 2.5 in Beijing with multiple models. Atmospheric Chemistry and Physics 19(9): 6595-6609. DOI: [10.5194/acp-19-6595-2019](https://doi.org/10.5194/acp-19-6595-2019)
- Malnik V.V., Gorshkova A.S., Tomberg I.V. et al. 2024. Coastal Water Quality in Lake Baikal in Bol'shie Koty Bay, Determined by the Effect of Atmospheric Precipitation and the Survival of Indicator Microorganisms. Water Resources 51: 267-283. DOI: [10.1134/S0097807824700787](https://doi.org/10.1134/S0097807824700787)
- Marinaite I.I., Potyomkin V.L., Khodzher T.V. 2019. Distribution characteristics of PAHs and solid particles over the water area of lake Baikal during wildfires in summer 2018. Proceedings of SPIE 11208: 1-6. DOI: [10.1117/12.2539014](https://doi.org/10.1117/12.2539014)
- Mashyanov N.R., Pogarev S.E., Sholupov S.E. et al. 2022. Air mercury monitoring in the Baikal area (2011-2021). Limnology and Freshwater Biology 3: 1315-1318. DOI: [10.31951/2658-3518-2022-A-3-1315](https://doi.org/10.31951/2658-3518-2022-A-3-1315)
- Moiseenko T.I., Bazova M.M., Gashkina N.A. 2022. Development of lake from acidification to eutrophication in the arctic region under reduced acid deposition and climate warming. Water 14(21): 1-19. DOI: [10.3390/w14213467](https://doi.org/10.3390/w14213467)
- Moiseenko T.I., Dinu M.I., Gashkina N.A. et al. 2018. Present status of water chemistry and acidification under nonpoint sources of pollution across European Russia and West Siberia. Environmental Research Letters 13(105007): 1-13. DOI: [10.1088/1748-9326/aae268](https://doi.org/10.1088/1748-9326/aae268)

Molozhnikova Y.V., Shikhovtsev M.Yu., Netsvetaeva O.G. et al. 2023. Ecological Zoning of the Baikal Basin Based on the Results of Chemical Analysis of the Composition of Atmospheric Precipitation Accumulated in the Snow Cover. *Applied sciences* 13(14): 1-17. DOI: [10.3390/app13148171](https://doi.org/10.3390/app13148171)

Nasonov S., Balin Y., Klemasheva M. et al. 2023. Study of Atmospheric Aerosol in the Baikal Mountain Basin with Shipborne and Ground-Based Lidars. *Remote sensing* 15(3816): 1-18. DOI: [10.3390/rs15153816](https://doi.org/10.3390/rs15153816)

Obolkin V., Khodzher T., Sorokovikova L. et al. 2016. Effect of long-range transport of sulphur and nitrogen oxides from large coal power plants on acidification of river waters in the Baikal region, East Siberia. *International Journal of Environmental Studies* 73(3): 452-461. DOI: [10.1080/00207233.2016.1165481](https://doi.org/10.1080/00207233.2016.1165481)

Obolkin V.A., Potemkin V.L., Makukhin V.L. et al. 2014. Low-level atmospheric jets as main mechanism of long-range transport of power plant plumes in the Lake Baikal Region. *International Journal of Environmental Studies* 71(3): 391-397. DOI: [10.1080/00207233.2014.918396](https://doi.org/10.1080/00207233.2014.918396)

Obolkin V.A., Potemkin V.L., Makukhin V.L. et al. 2017. Long-range transport of plumes of atmospheric emissions from regional coal power plants to the South Baikal water basin. *Atmospheric and Oceanic Optics* 30(4): 360-365. DOI: [10.1134/S1024856017040078](https://doi.org/10.1134/S1024856017040078)

Obolkin V.A., Volkova E.A., Ohira S.I. et al. 2019. The role of atmospheric precipitation in the under-ice blooming of endemic dinoflagellate *Gymnodinium baicalense* var. minor Antipova in Lake Baikal. *Limnology and Freshwater Biology* 6: 345-352. DOI: [10.31951/2658-3518-2019-A-6-345](https://doi.org/10.31951/2658-3518-2019-A-6-345)

Popovicheva O., Molozhnikova E., Nasonov S. et al. 2021. Industrial and wildfire aerosol pollution over world heritage Lake Baikal. *Journal of Environmental Sciences* 107: 49-64. DOI: [10.1016/j.jes.2021.01.011](https://doi.org/10.1016/j.jes.2021.01.011)

Seinfeld J.H., Pandis S.N. 2016. Atmospheric chemistry and physics: from air pollution to climate change. New York: Wiley-VCH.

Shikhovtsev M.Y., Molozhnikova Y.V., Obolkin V.A. et al. 2024. Features of Temporal Variability of the Concentrations of Gaseous Trace Pollutants in the Air of the Urban and Rural Areas in the Southern Baikal Region (East Siberia, Russia). *Applied Sciences* 14(18): 1-19. DOI: [10.3390/app14188327](https://doi.org/10.3390/app14188327)

Shikhovtsev M.Yu., Obolkin V.A., Khodzher T.V. et al. 2023. Variability of the Ground Concentration of Particulate Matter PM1—PM10 in the Air Basin of the Southern Baikal Region. *Atmospheric and Oceanic Optics* 36(6): 655-662. DOI: [10.1134/S1024856023060192](https://doi.org/10.1134/S1024856023060192)

Shon Z.H., Kim K.H., Song S.K. 2011. Long-term trend in NO₂ and NO_x levels and their emission ratio in relation to road traffic activities in East Asia. *Atmospheric Environment* 45(18): 3120-3131. DOI: [10.1016/j.atmosenv.2011.03.009](https://doi.org/10.1016/j.atmosenv.2011.03.009)

Sicard P., Agathokleous E., Anenberg S.C. et al. 2023. Trends in urban air pollution over the last two decades: A global perspective. *Science of The Total Environment* 858(160064): 1-13. DOI: [10.1016/j.scitotenv.2022.160064](https://doi.org/10.1016/j.scitotenv.2022.160064)

Sillanpää S., Fung P.L., Niemi J.V. et al. 2022. Long-term air quality trends of regulated pollutants in the Helsinki metropolitan area from 1994–2019 and its implications to the Air Quality Index. *Boreal Environment Research* 27: 61-79. DOI: [10.1547/porel.1254.238](https://doi.org/10.1547/porel.1254.238)

Southerland V.A., Brauer M., Mohegh A. et al. 2022. Global urban temporal trends in fine particulate matter (PM2.5) and attributable health burdens: estimates from global datasets. *The Lancet Planetary Health* 6(2): e139-e146. DOI: [10.1016/S2542-5196\(21\)00350-8](https://doi.org/10.1016/S2542-5196(21)00350-8)

Stein A.F., Draxler R.R., Rolph G.D. et al. 2015. NOAA's HYSPLIT atmospheric transport and dispersion modeling system. *Bulletin of the American Meteorological Society* 96(12): 2059-2077. DOI: [10.1175/BAMS-D-14-00110.1](https://doi.org/10.1175/BAMS-D-14-00110.1)

Taschilin M., Yakovleva I., Sakerin S. et al. 2021. Spatiotemporal variations of aerosol optical depth in the atmosphere over Baikal region based on MODIS data. *Atmosphere* 12(12): 1-10. DOI: [10.3390/atmos12121706](https://doi.org/10.3390/atmos12121706)

Tiotiu A.I., Novakova P., Nedeva D. et al. 2020. Impact of air pollution on asthma outcomes. *International journal of environmental research and public health* 17(17): 1-29. DOI: [10.3390/ijerph17176212](https://doi.org/10.3390/ijerph17176212)

Zayakhanov A.S., Zhamsueva G.S., Tsydypovet V.V. et al. 2019. Specific features of transport and transformation of atmospheric aerosol and gas admixtures in the coastal zone of Lake Baikal. *Atmospheric and Oceanic Optics* 32: 158-164. DOI: [10.1134/S1024856019020192](https://doi.org/10.1134/S1024856019020192)

Zhamsueva G., Zayakhanov A., Tsydypov V. et al. 2020. Spatial-temporal variability of small gas impurities over lake Baikal during the forest fires in the summer of 2019. *Atmosphere* 12(1): 20. DOI: [10.3390/atmos12010020](https://doi.org/10.3390/atmos12010020)

Zhamsueva G., Zayakhanov A., Khodzher T. et al. 2022. Studies of the dispersed composition of atmospheric aerosol and its relationship with small gas impurities in the near-water layer of Lake Baikal based on the results of ship measurements in the summer of 2020. *Atmosphere* 13(1): 139. DOI: [10.3390/atmos13010139](https://doi.org/10.3390/atmos13010139)

Аршинов М.Ю., Белан Б.Д., Ивлев Г.А. и др. 2001. Пространственно-временные характеристики циркуляции воздуха в котловине озера Байкал. *Оптика атмосферы и океана* 14(4): 290-293.

Майсюк Е.П. 2017. Роль энергетики в экологическом состоянии Байкальской природной территории. *География и природные ресурсы* 1: 100-107. DOI: [10.21782/GIPR0206-1619-2017-1\(100-107\)](https://doi.org/10.21782/GIPR0206-1619-2017-1(100-107))

Моложникова Е.В., Кучменко Е.В. 2004. Оценка некоторых характеристик образования и выпадения сульфатов в городах Прибайкалья. *Оптика атмосферы и океана* 17(5-6): 418-422.

Томберг И.В., Сороковикова Л.М., Нецеветаева О.Г. и др. 2016. Химический состав и тенденция закисления снежных вод и вод притоков Южного Байкала. *Оптика атмосферы и океана* 29(6): 516-520. DOI: [10.15372/AOO20160612](https://doi.org/10.15372/AOO20160612)